

WIND FIELD OF HURRICANE

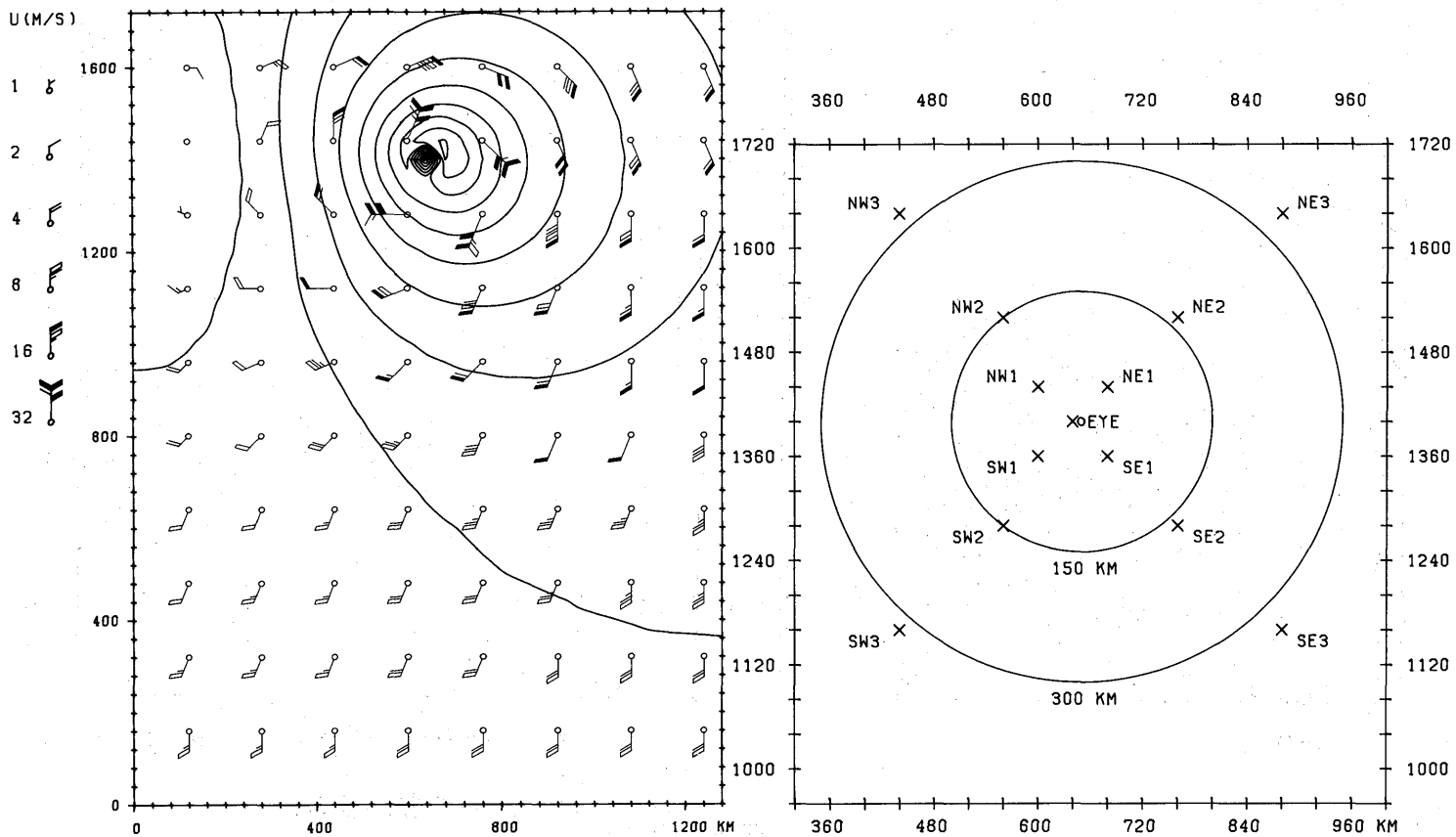


Fig. 113-12.1-0 Hurricane wind field and selected output points for spectra

#12

CASE 6-1

H₅₁₀.

X EXTENT:0-1280 KM

Y EXTENT:0-1720 KM

CARDONE MODEL STORM
SPEED 00 KM/H

DT : 1 HOUR

DX:40 KM

INTERVAL 1.0 M

MODEL 'MRI'

IMAX=33 : JMAX=44

AT 24. HOURS

MRI-II

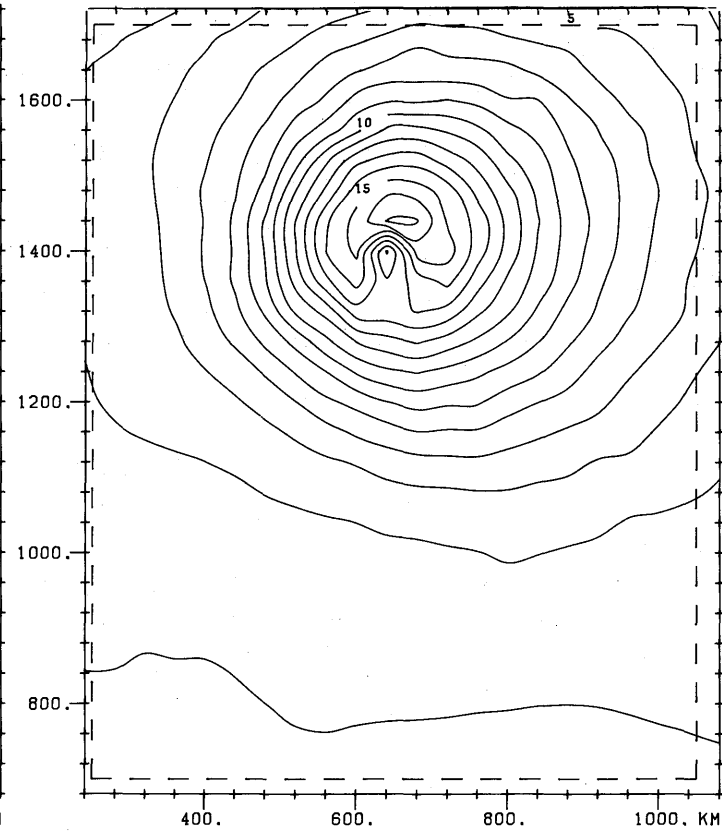
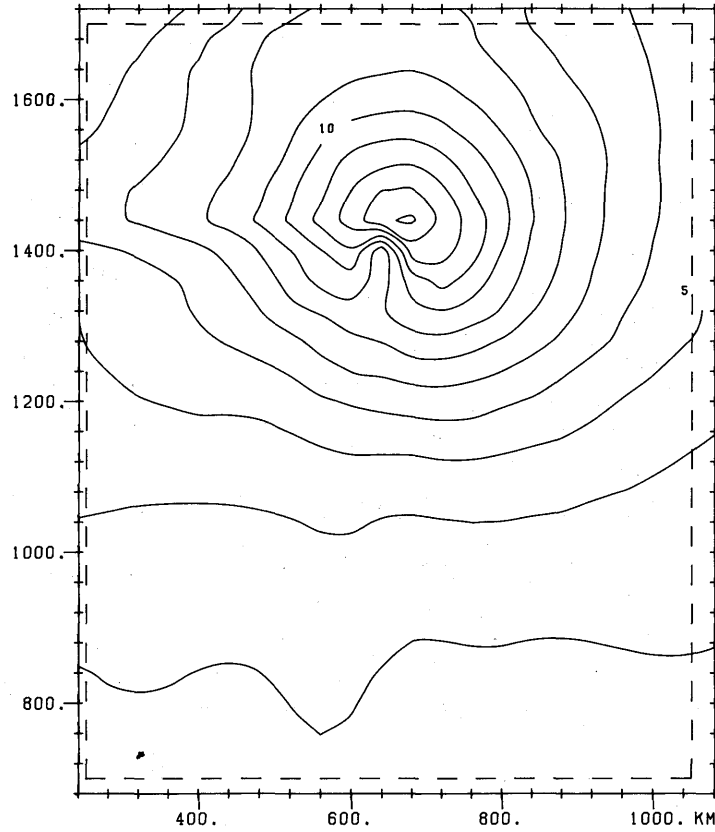


Fig. 114-0-35 contours of H₅ vs. X and Y

#13

CASE 6-1 F

X EXTENT:0-1280 KM

CARDONE MODEL STORM
SPEED 00 KM/H

Y EXTENT:0-1720 KM

DT : 1 HOUR

DX:40 KM

INTERVAL 0.01 HZ

MODEL 'MRI' IMAX=33 : JMAX=44

AT 24. HOURS

MRI-II

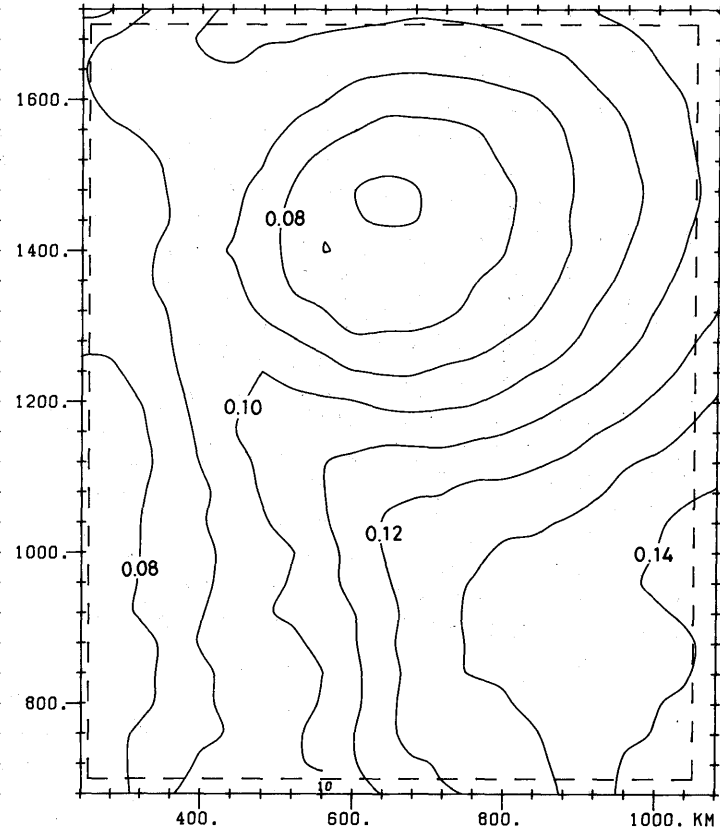
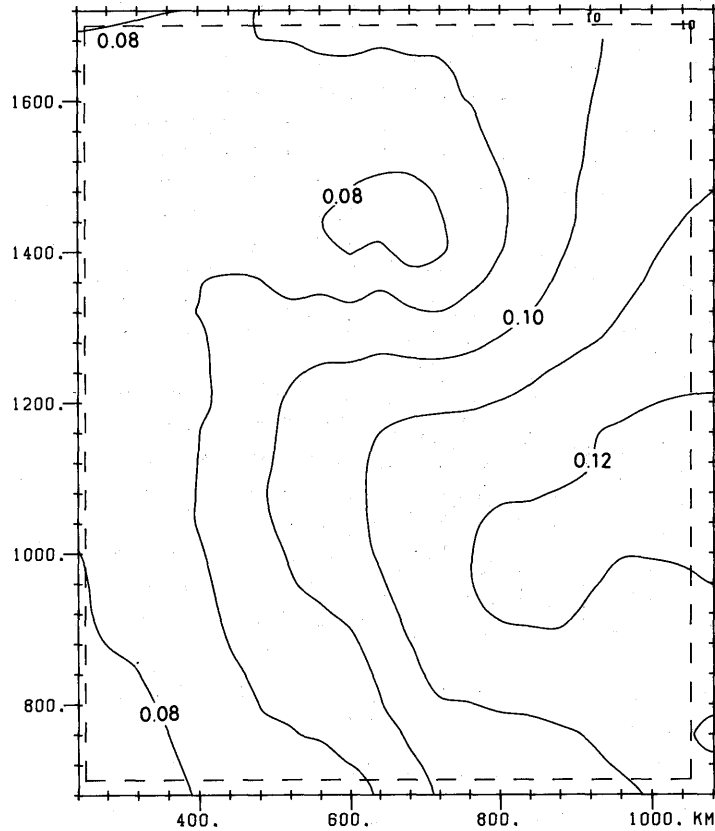


Fig. 115-0-36 contours of f vs. X and Y

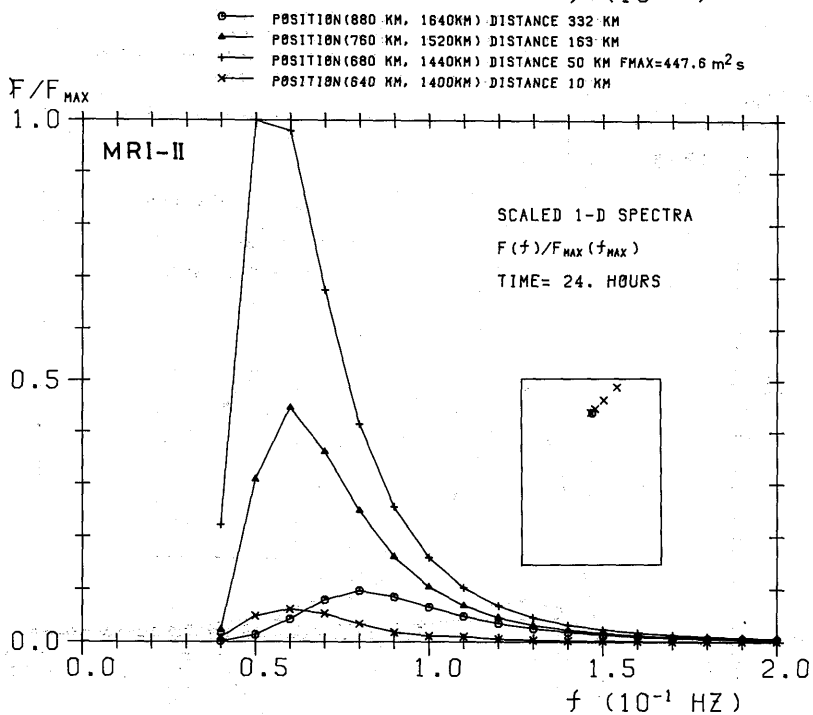
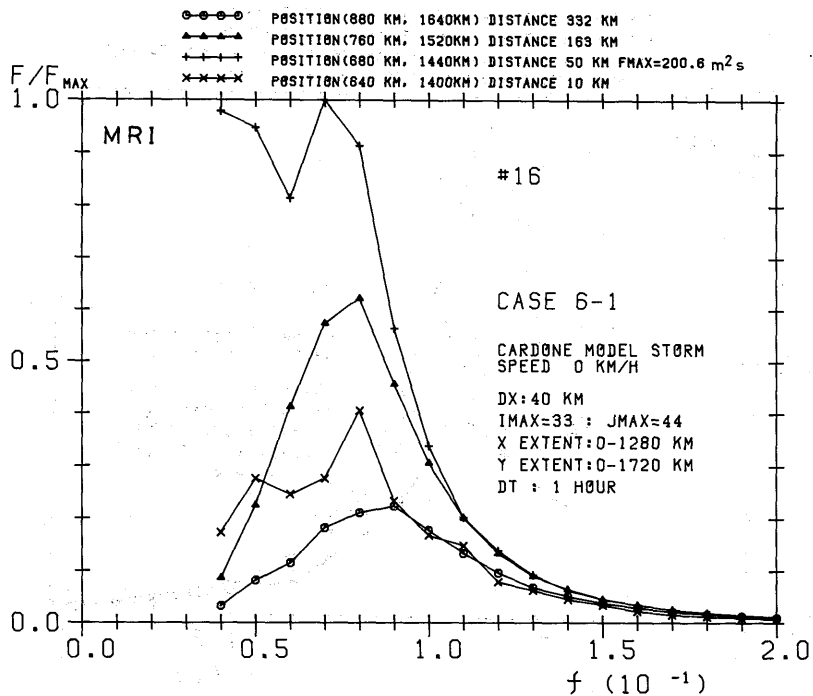


Fig. 117-0-47 scaled 1-D spectrum $F(f)/F(f)_{MAX}$ for points (640,1400),(680,1440),(760,1520) and (880,1640) (eye and NE direction)

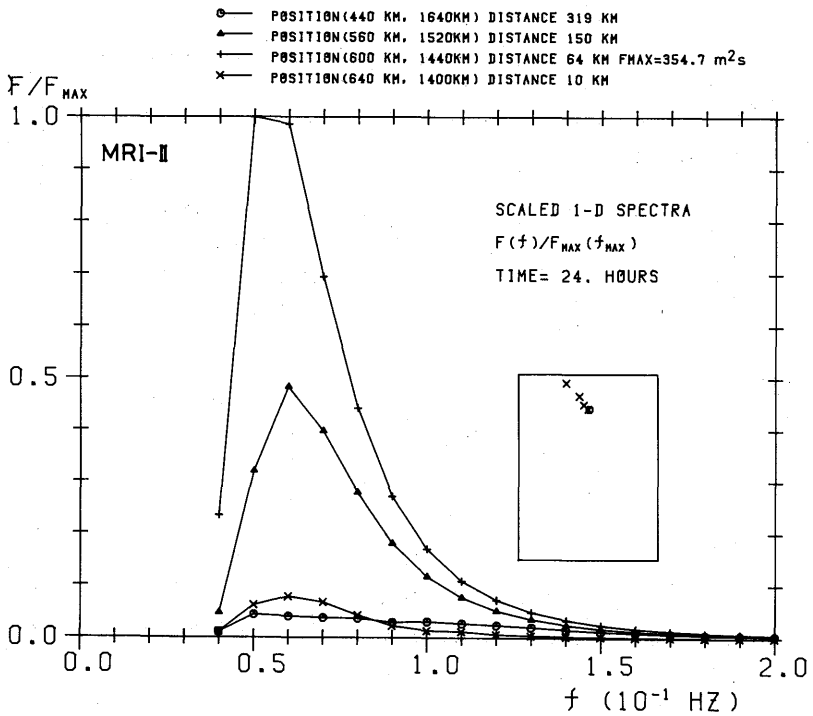
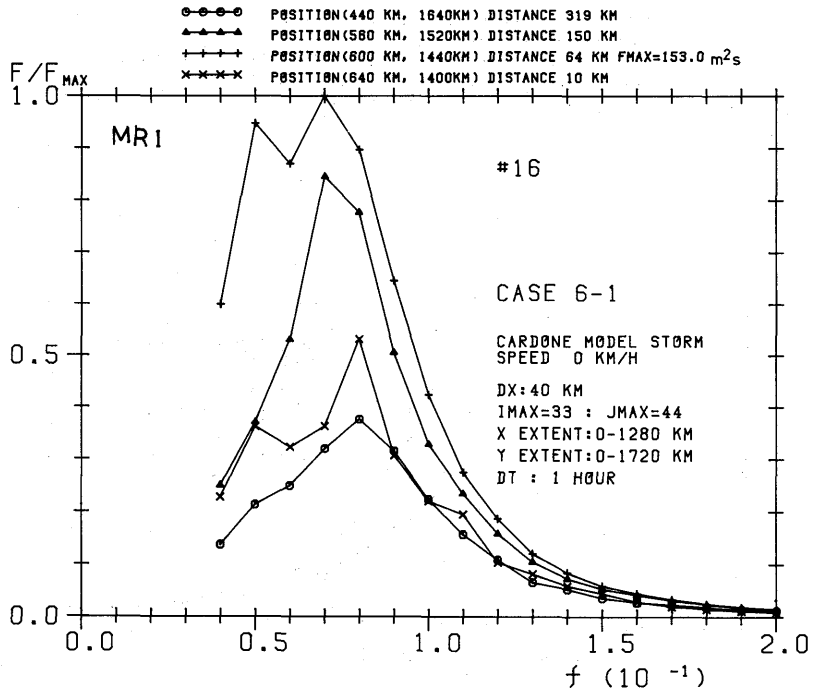


Fig.118-0-0 scaled 1-D spectrum $F(f)/F(f)_{MAX}$ for points (640,1400),(600,1440),(560,1520)and(440,1640) (eye and NW direction)

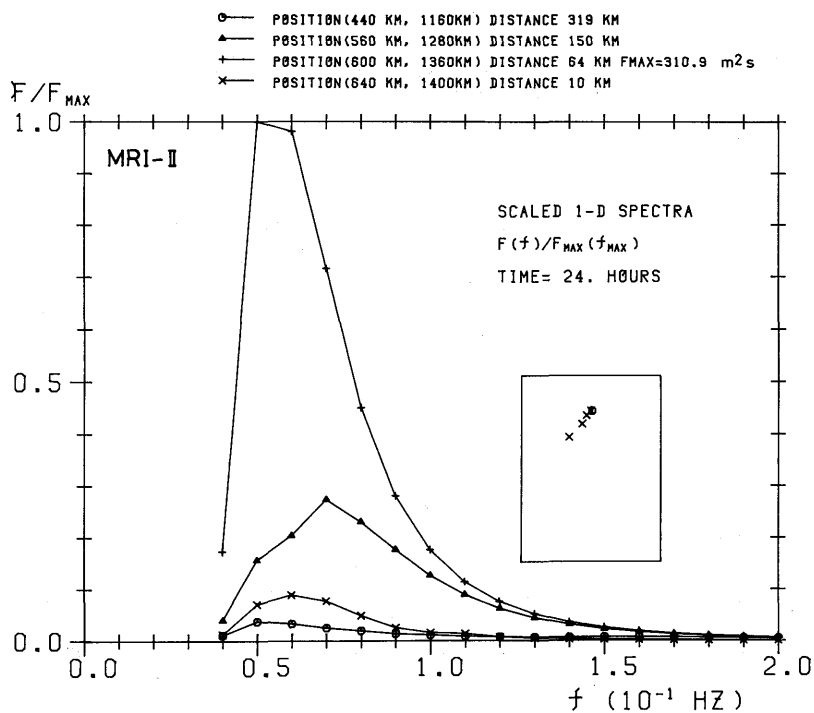
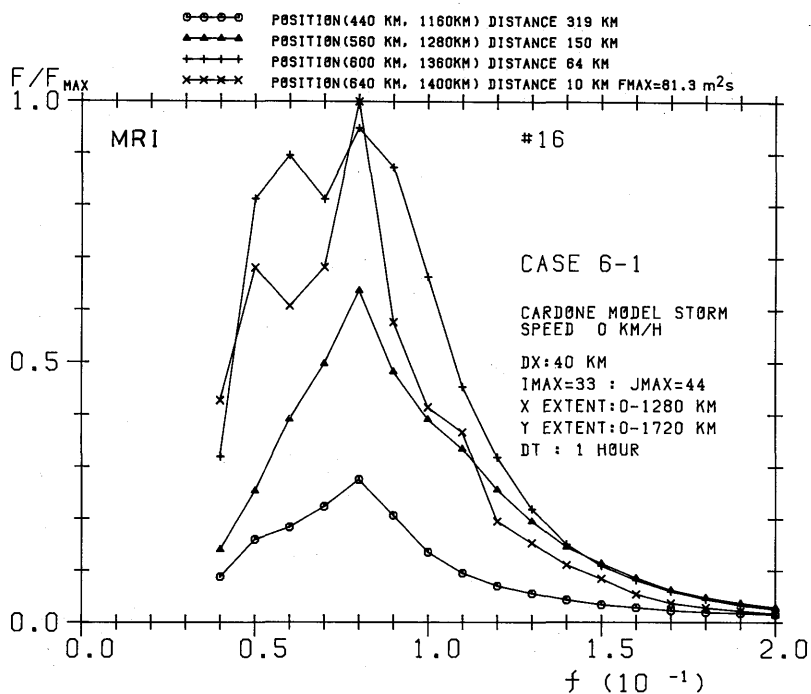


Fig. 119-0-0 scaled 1-D spectrum $F(f)/F(f)_{MAX}$ for points (640,1400), (600, 1360), (560,1280) and (440,1160) (eye and SW direction)

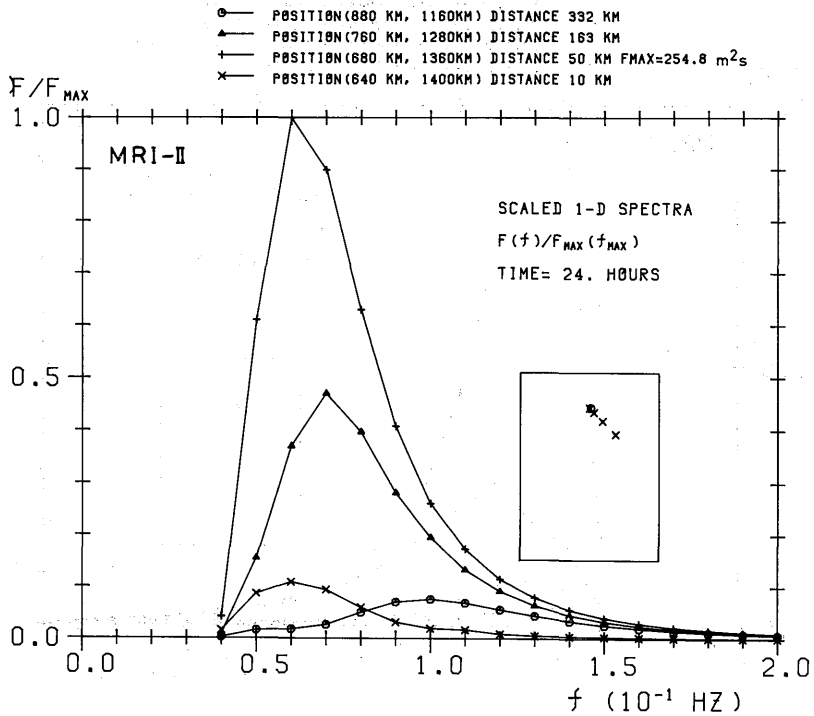
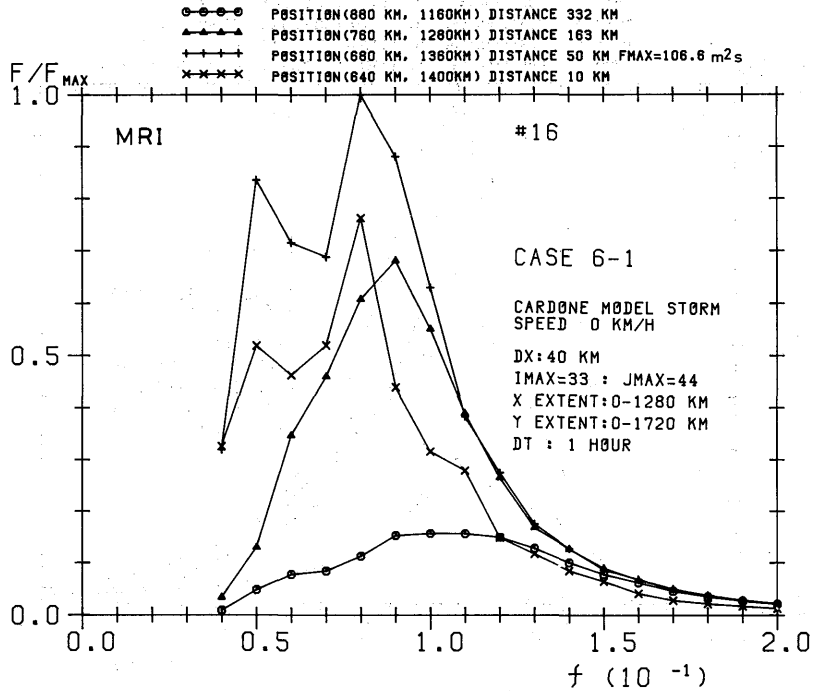


Fig. 120-0-0 scaled 1-D spectrum $F(f)/F(f)_{MAX}$ for points (640,1400), (680, 1360), (760,1280) and (880,1160) (eye and SE direction)

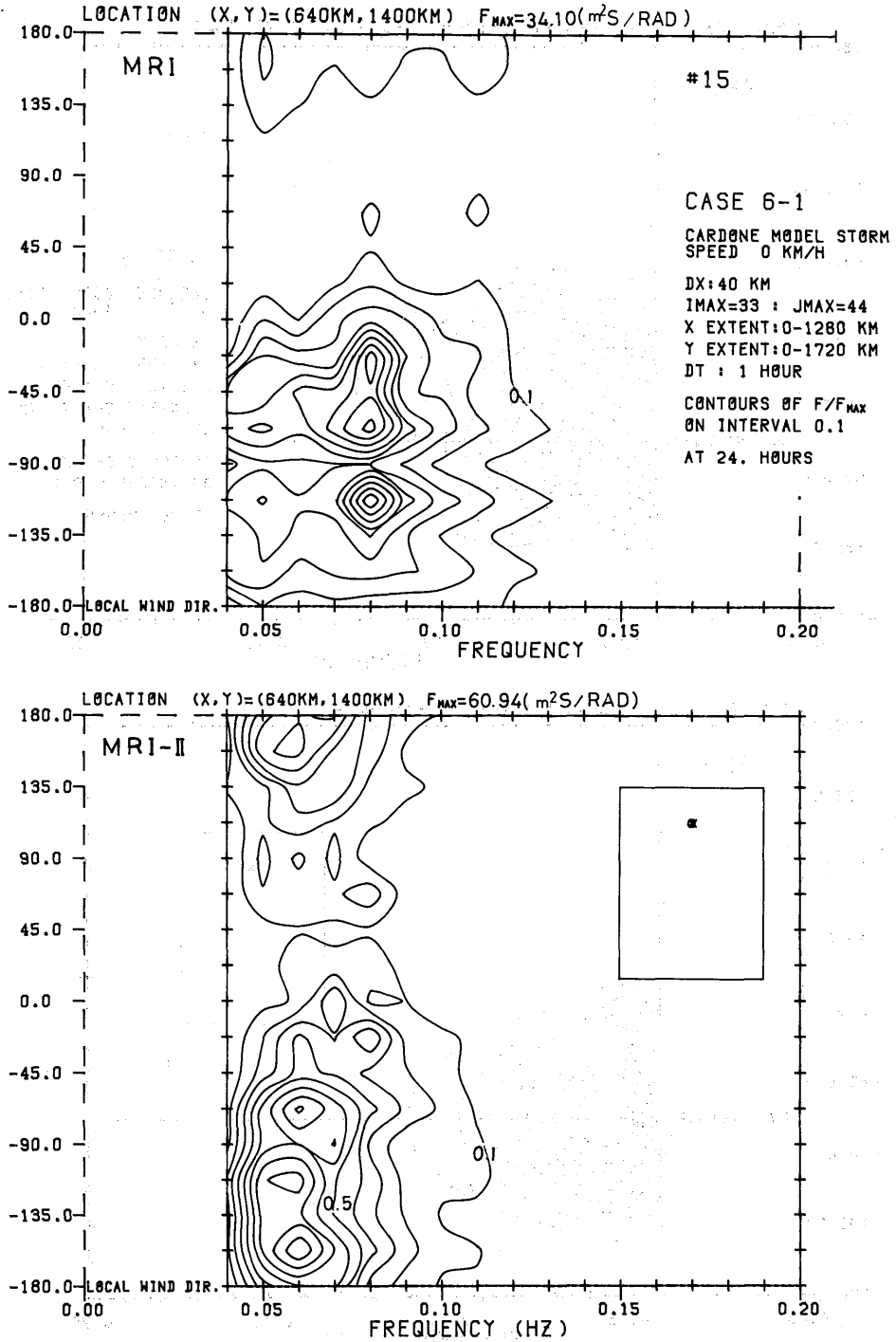


Fig. 121-0-38 scaled 2-D spectrum $F(f, \theta) / F(f, \theta)_{MAX}$ for point (640, 1400) (eye)

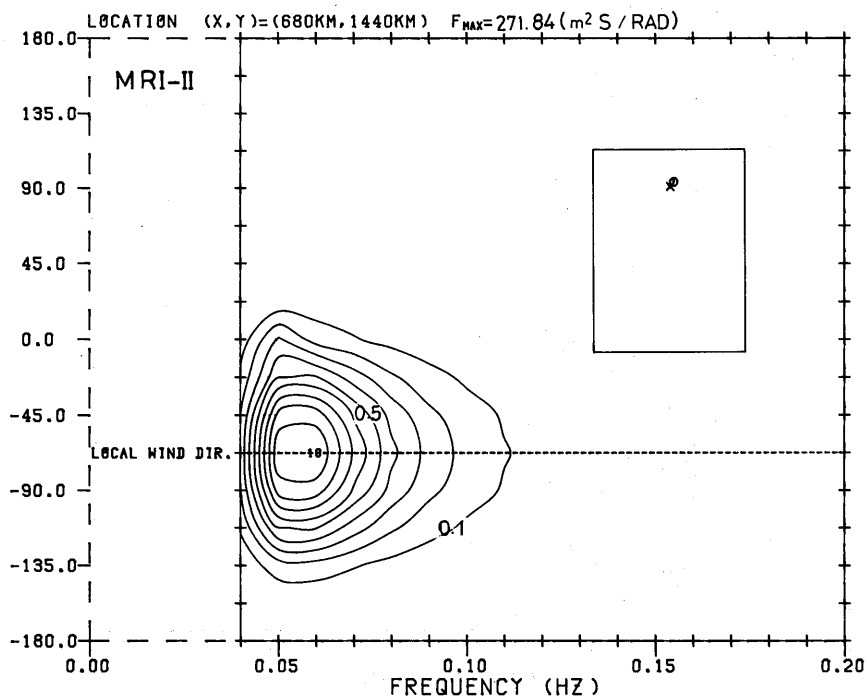
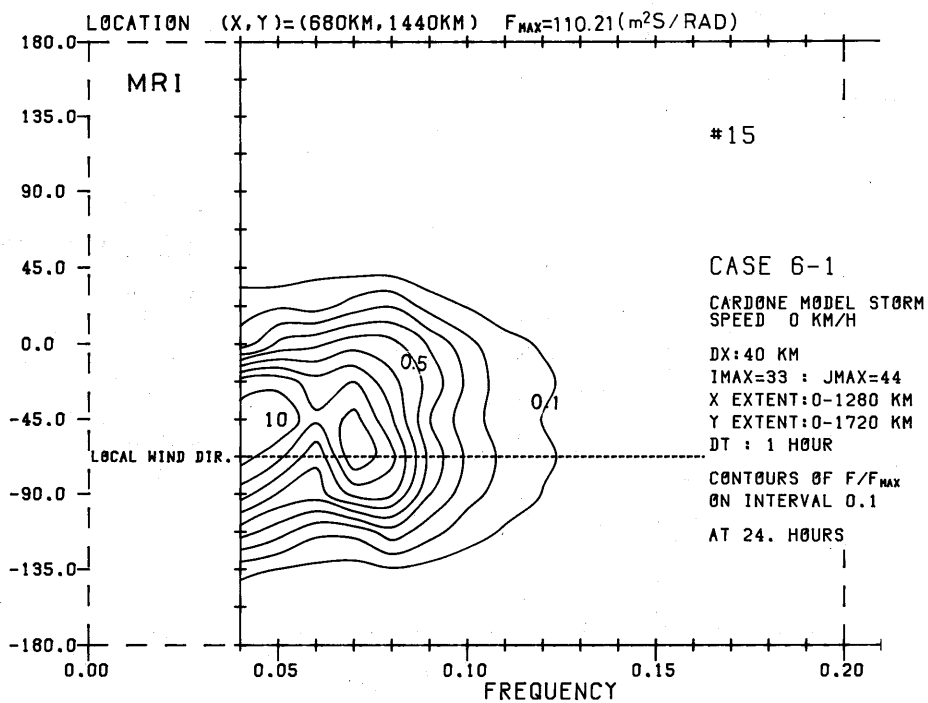


Fig. 122-12.5-0 scaled 2-D spectrum $F(f, \theta) / F(f, \theta)_{MAX}$ for point (680, 1440) (NE1)

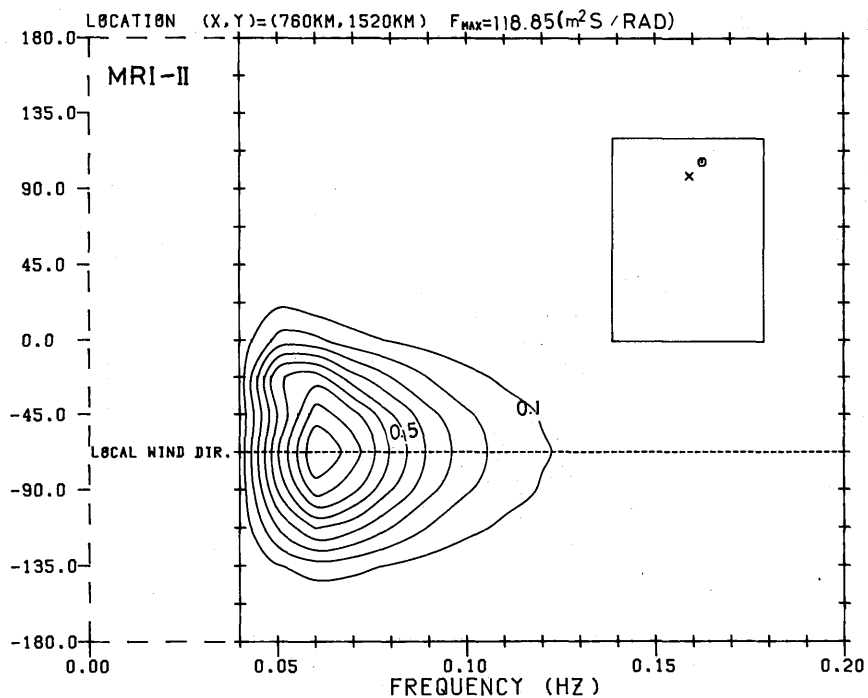
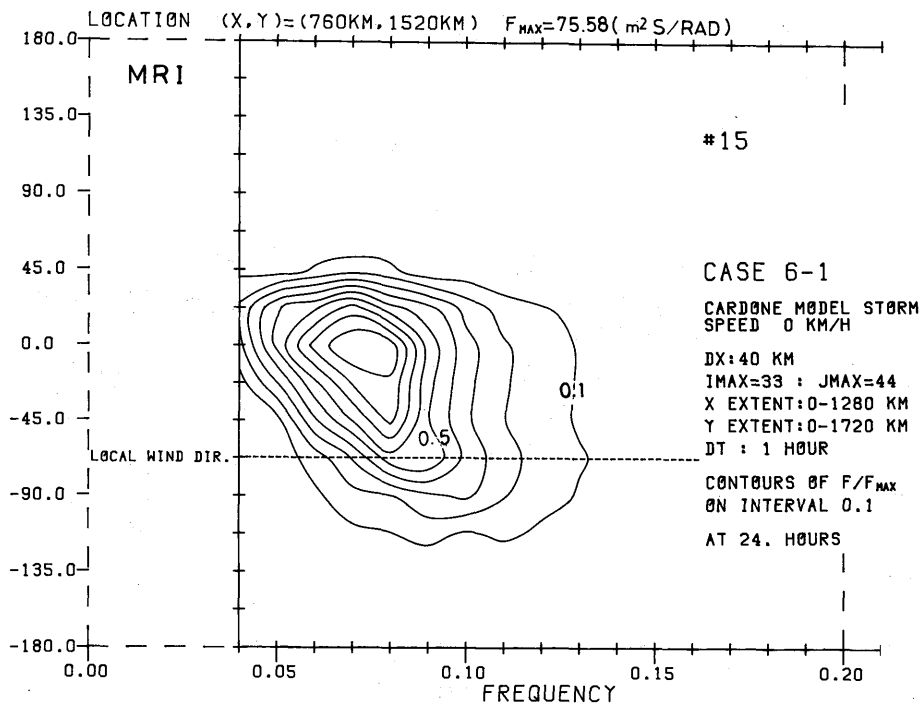


Fig. 123-0-39 scaled 2-D spectrum $F(f,\theta)/F(f,\theta)_{MAX}$ for point (760,1520) (NE2)

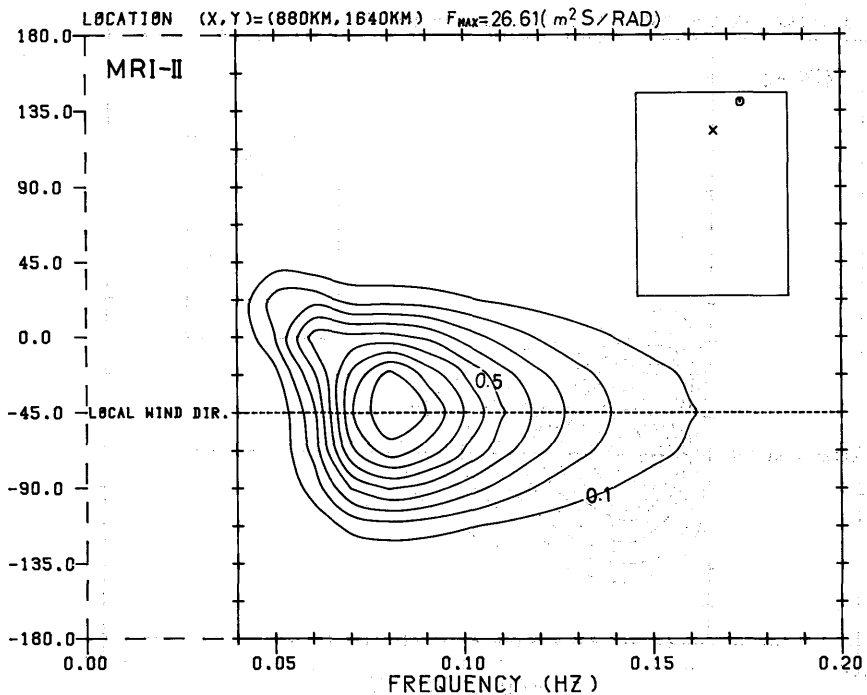
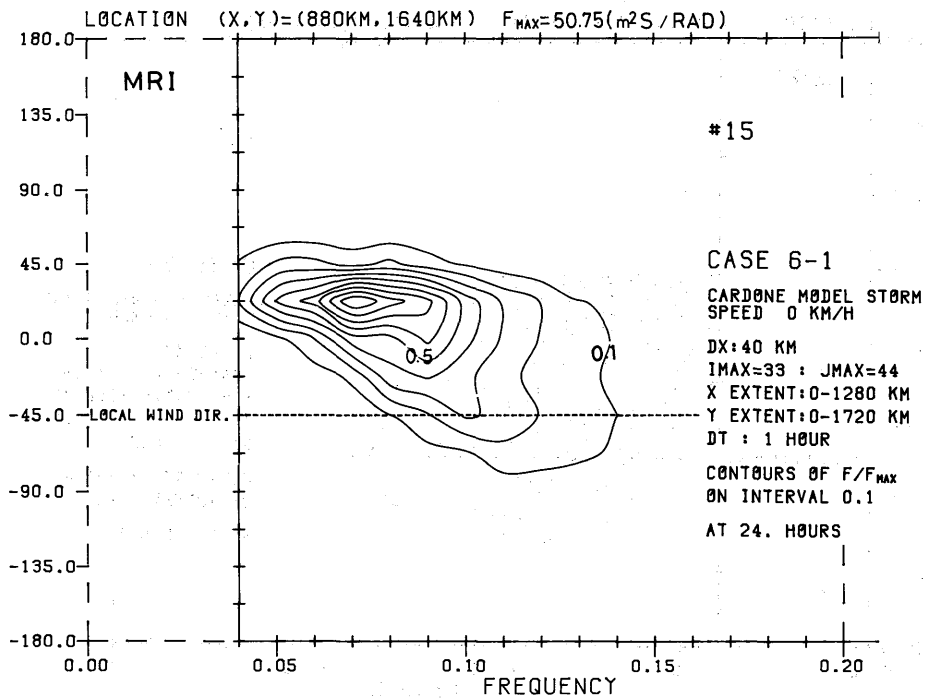


Fig. 124-0-40 scaled 2-D spectrum $F(f,\theta)/F(f,\theta)_{MAX}$ for point (880,1640) (NE3)

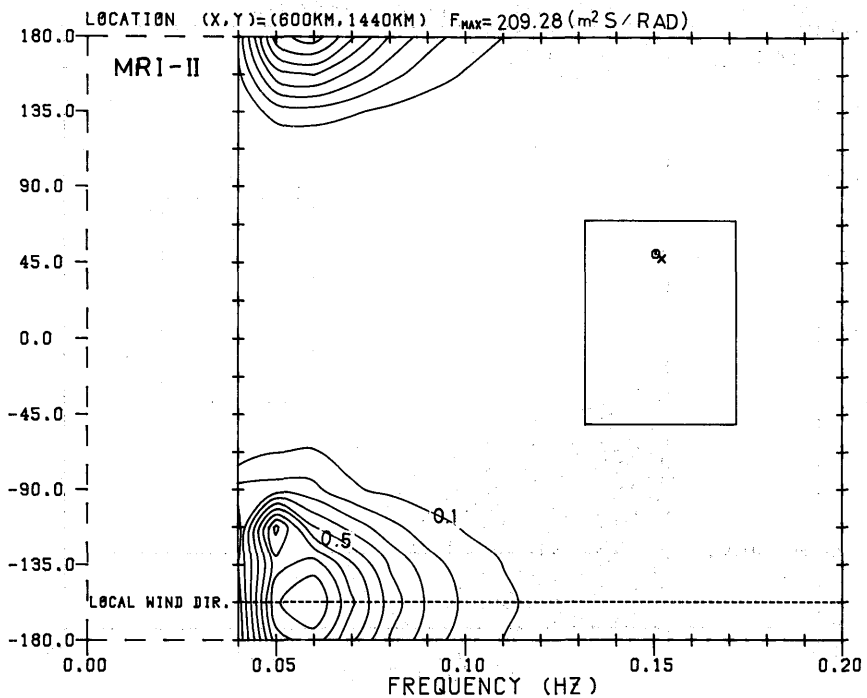
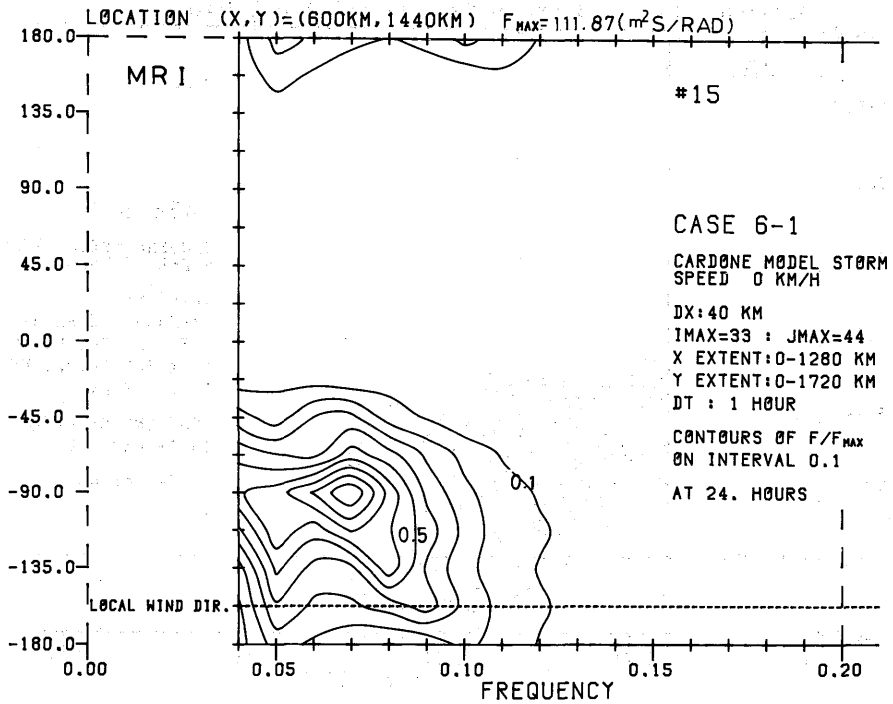


Fig.125-0-0 scaled 2-D spectrum $F(f,\theta)/F(f,\theta)_{MAX}$ for point (600,1440) (NW1)

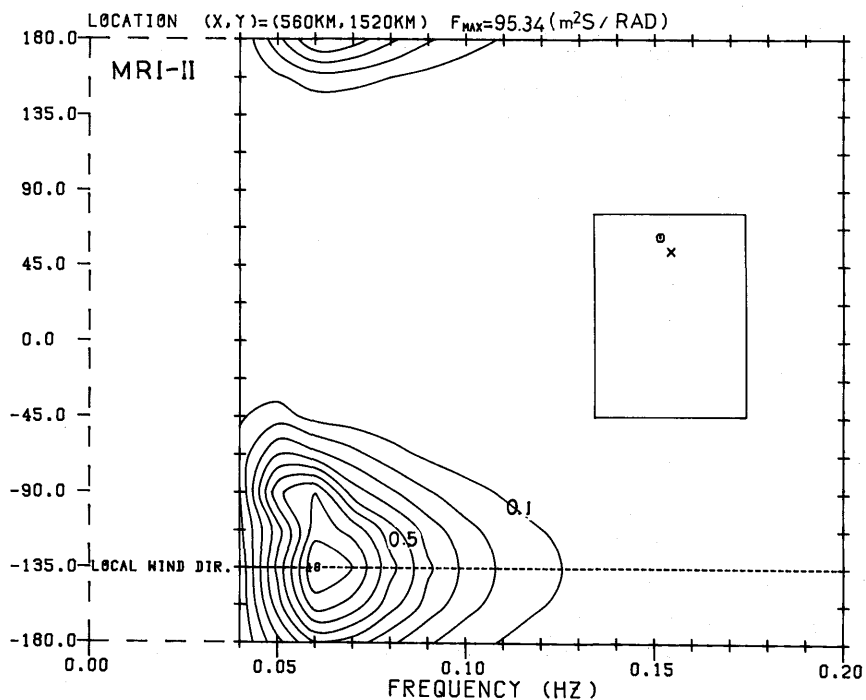
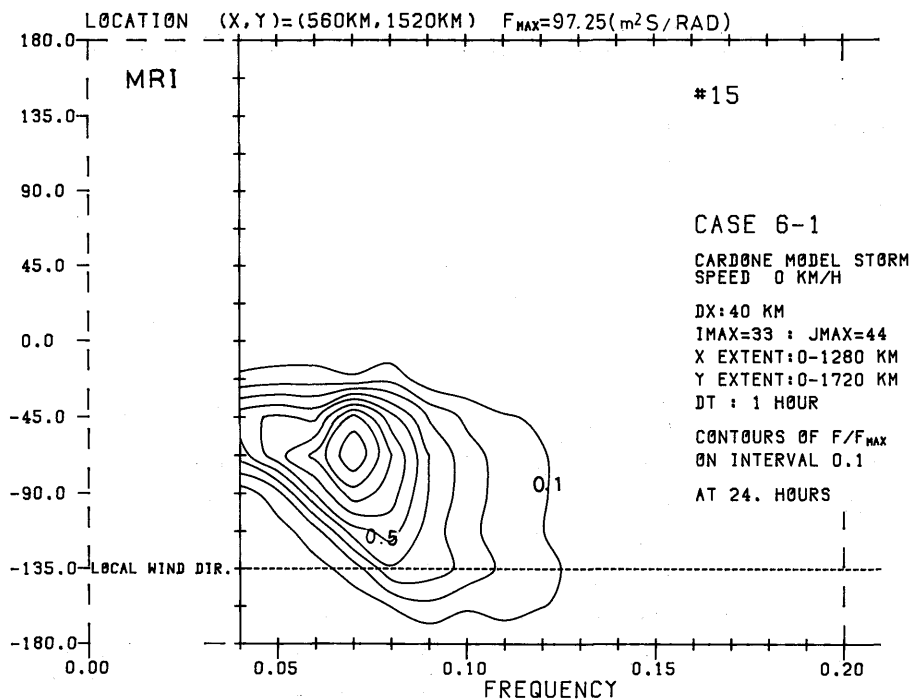


Fig. 126-0-41 scaled 2-D spectrum $F(f, \theta) / F(f, \theta)_{MAX}$ for point (560, 1520) (NW2)

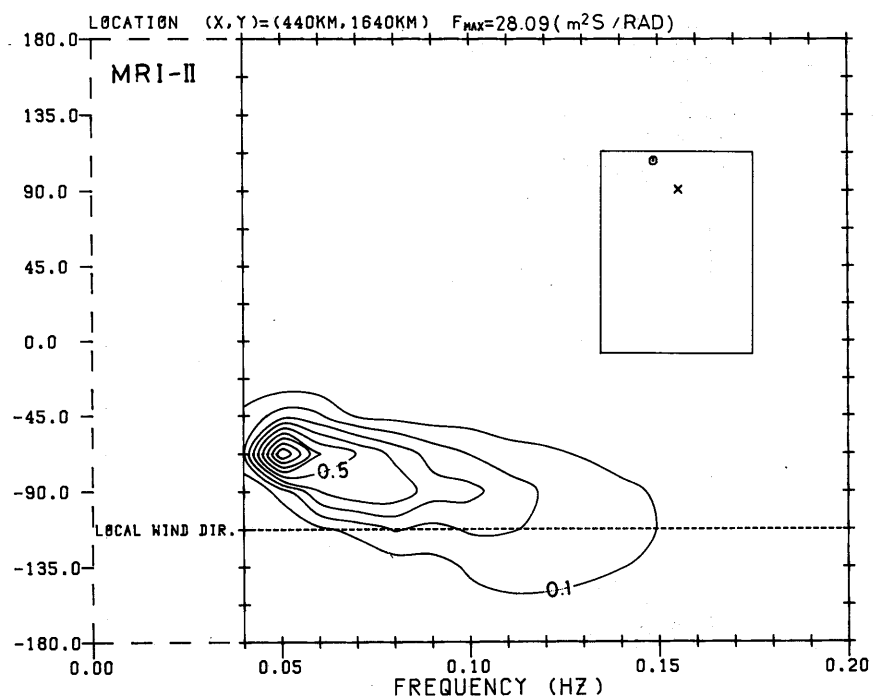
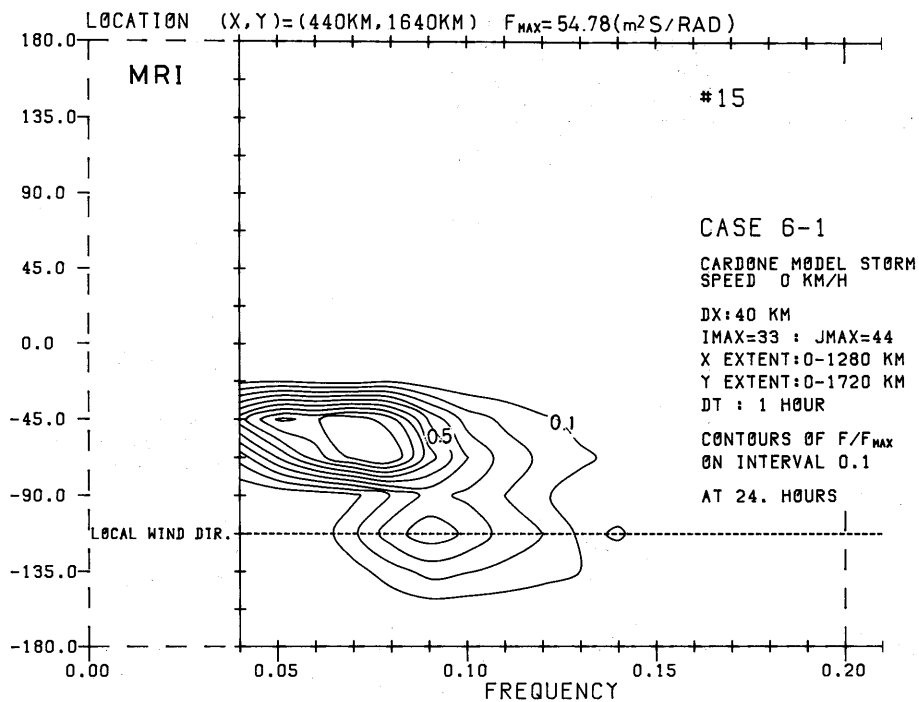


Fig. 127-0-42 scaled 2-D spectrum $F(f, \theta)/F(f, \theta)_{MAX}$ for point (440, 1640) (NW3)

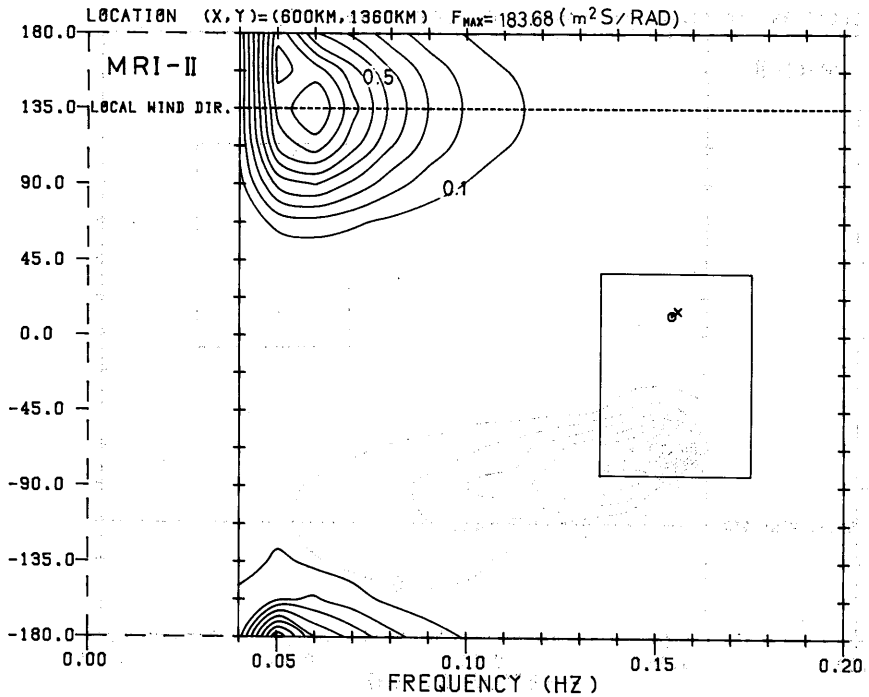
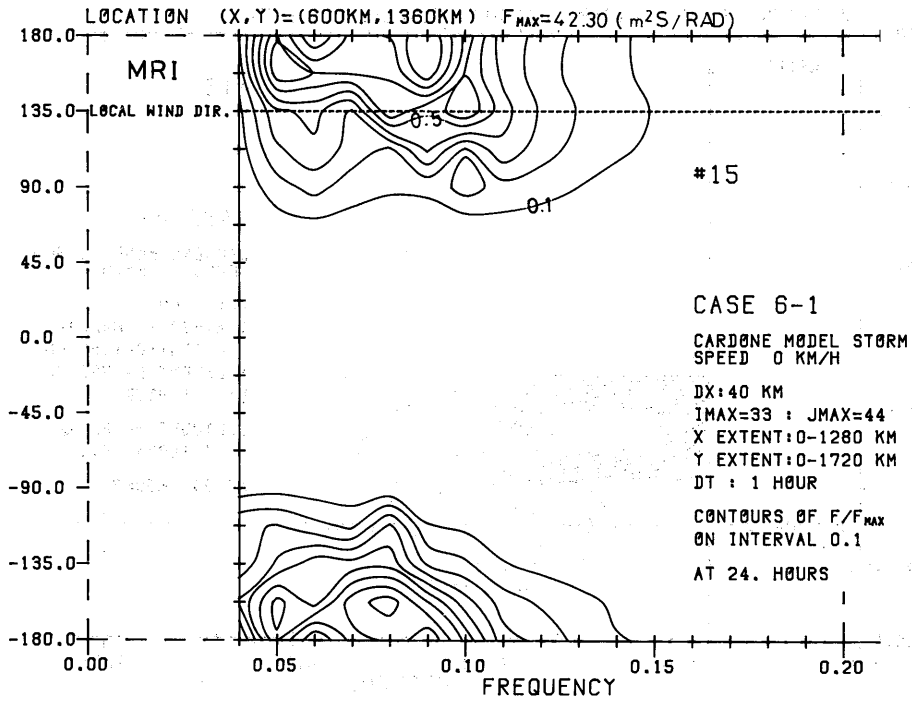


Fig:128-0-0 scaled 2-D spectrum $F(f,\theta)/F(f,\theta)_{MAX}$ for point (600,1360) (SW1)

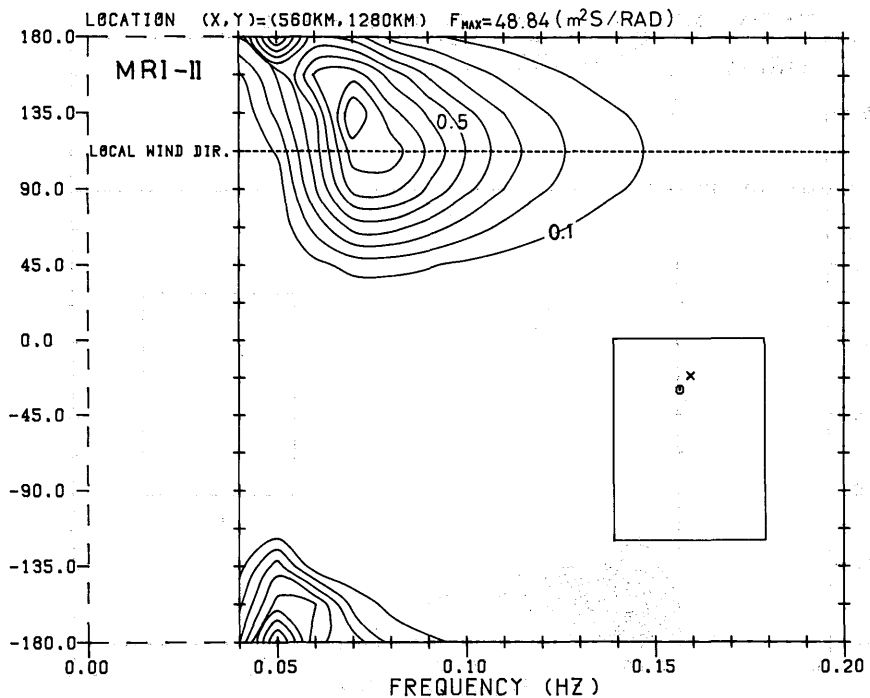
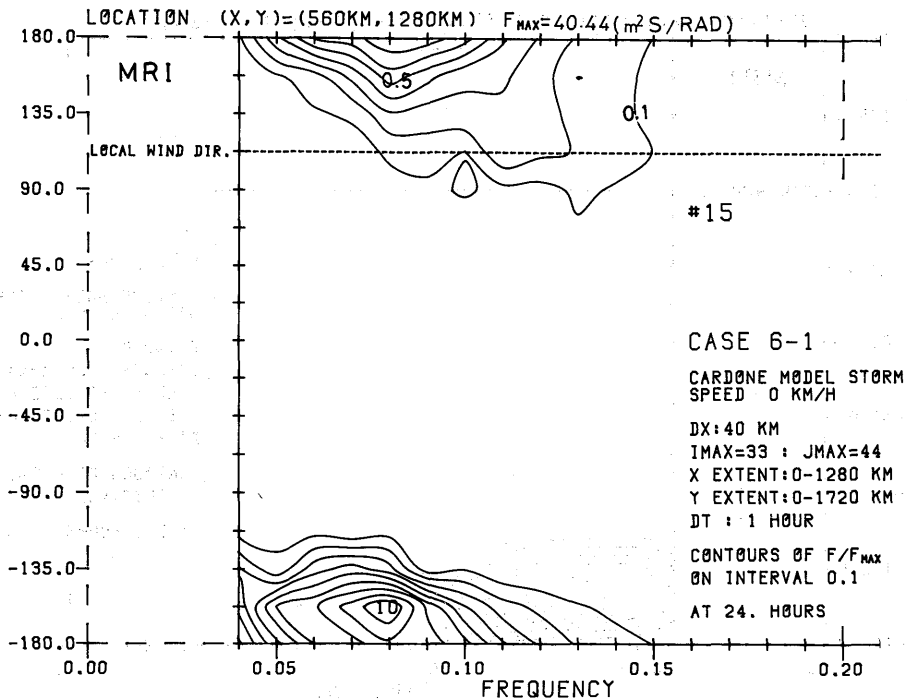


Fig. 129-0-43 scaled 2-D spectrum $F(f, \theta)/F(f, \theta)_{MAX}$ for point (560, 1280) (SW2)

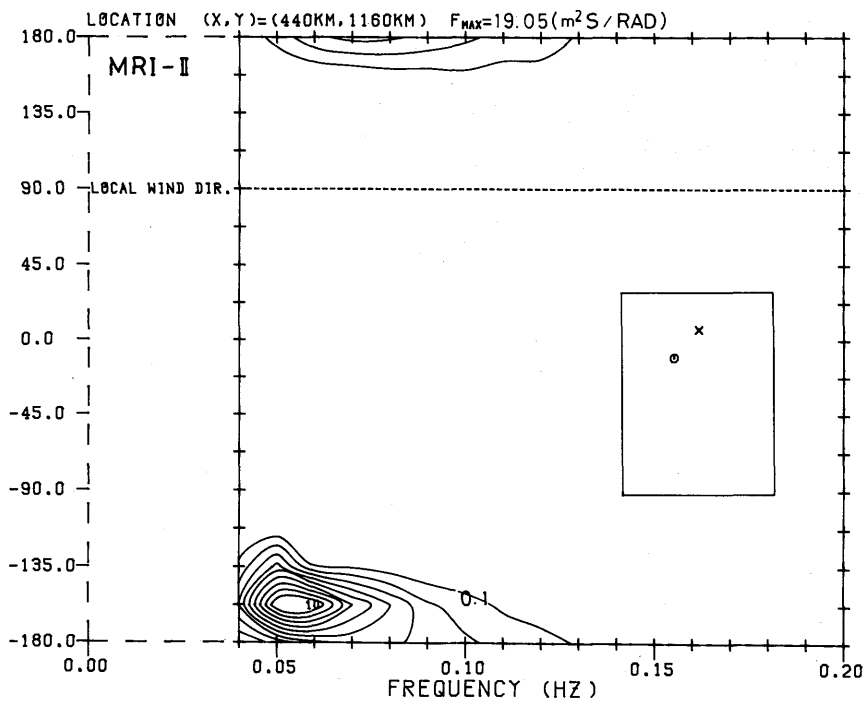
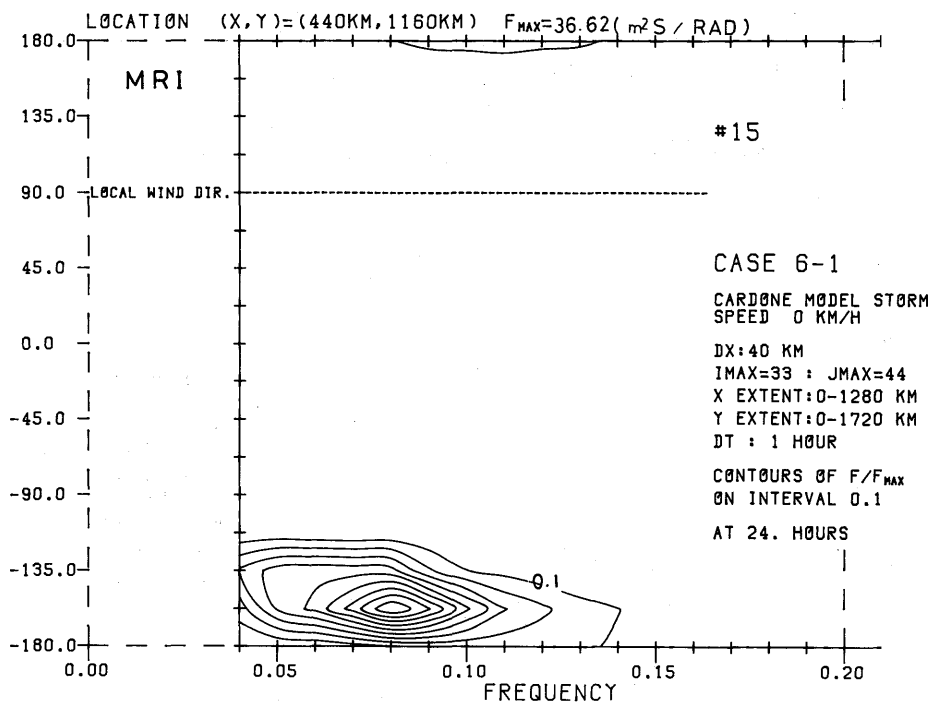


Fig.130-0-44 scaled 2-D spectrum $F(f,\theta)/F(f,\theta)_{MAX}$ for point (440,1160) (SW3)

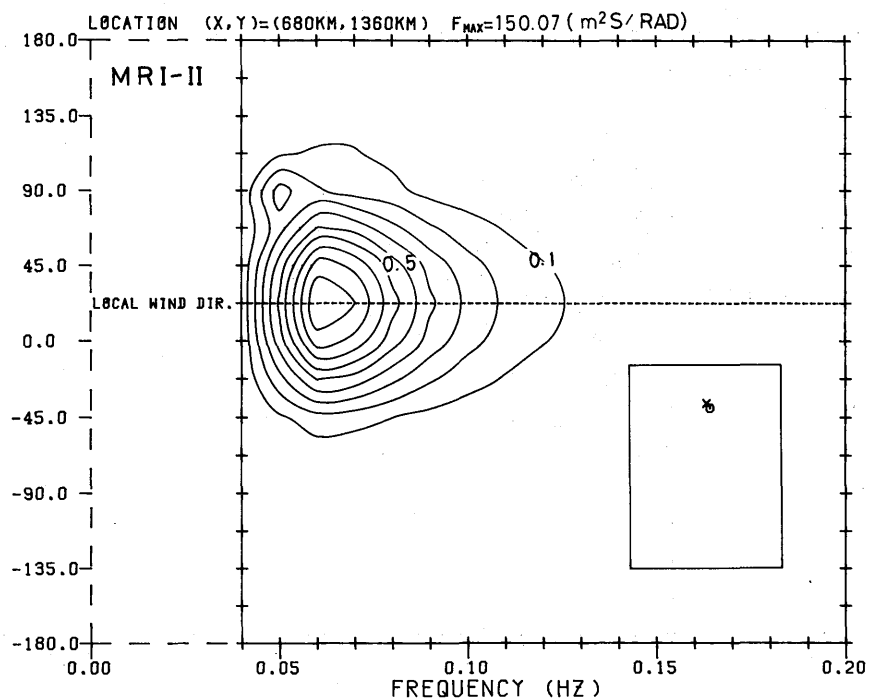
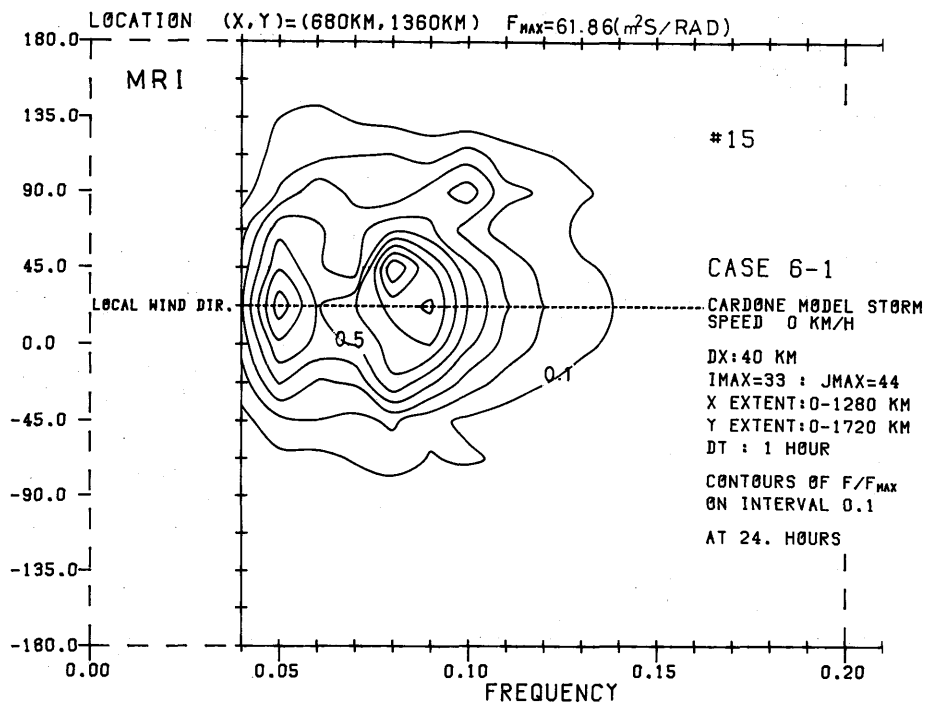


Fig. 131-0-0 scaled 2-D spectrum $F(f,\theta)/F(f,\theta)_{MAX}$ for point (680,1360) (SE1)

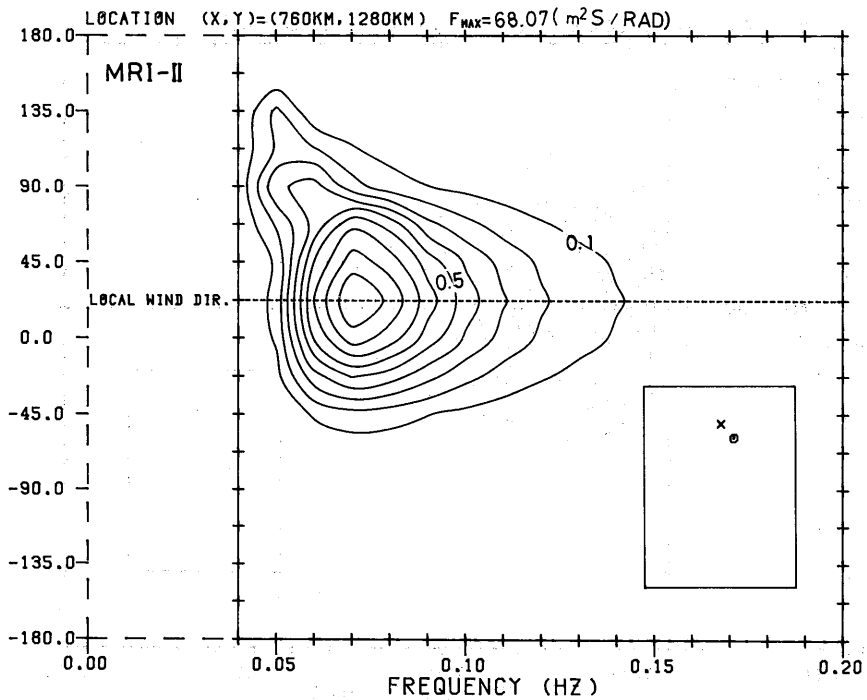
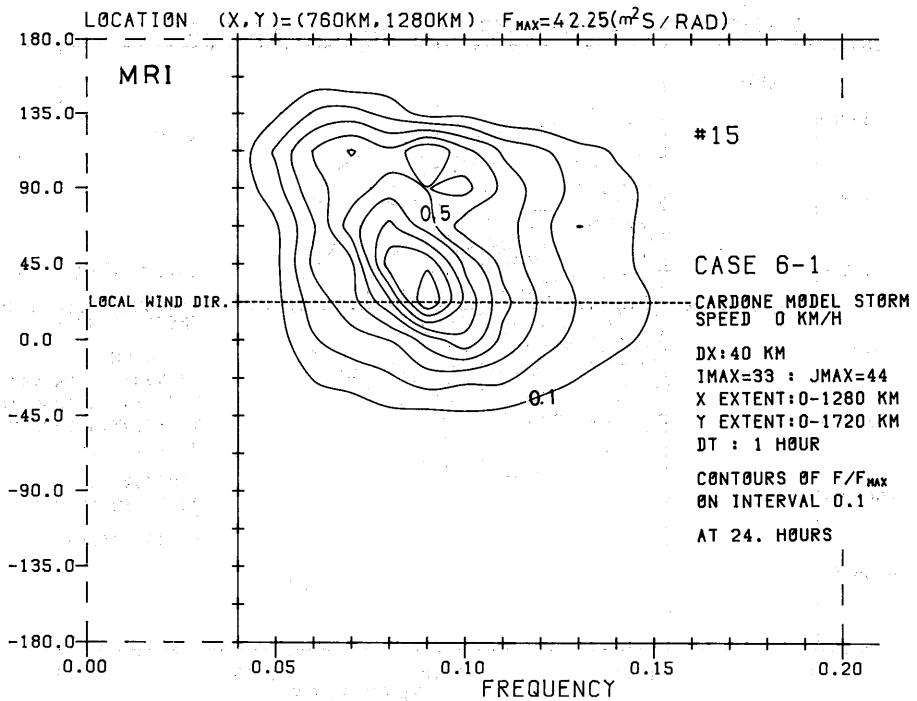


Fig. 132-0-45 scaled 2-D spectrum $F(f, \theta) / F(f, \theta)_{MAX}$ for point (760, 1280) (SE2)

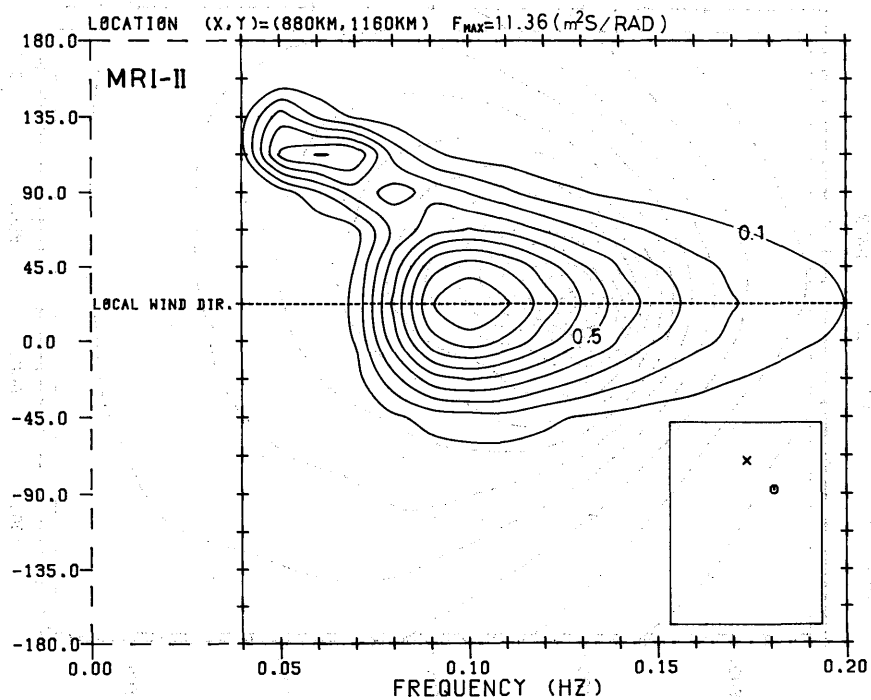
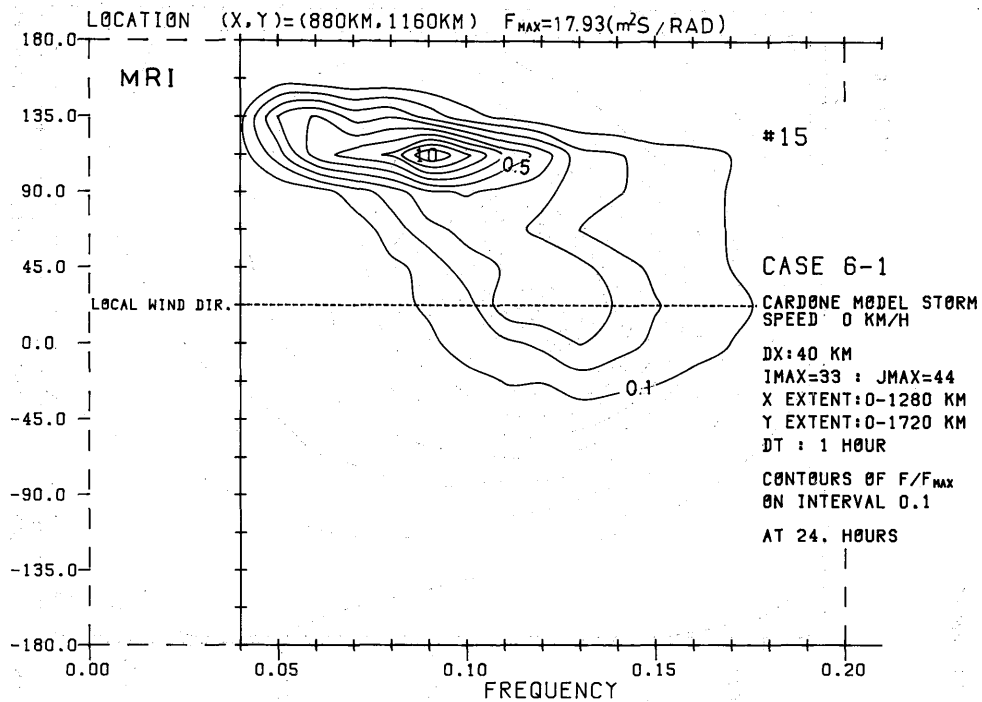


Fig. 133-0-46 scaled 2-D spectrum $F(f, \theta) / F(f, \theta)_{MAX}$ for point (880, 1160) (SE3)

#12

CARDONE MODEL STORM
SPEED 54 KM/H

INTERVAL 1.0 M

DX: 40 KM

AT 24. HOURS

IMAX=33 : JMAX=44

X EXTENT: 0-1280 KM

Y EXTENT: 0-1720 KM

DT : 1 HOUR

CASE 6-2

H_{STG.}

MRI-I

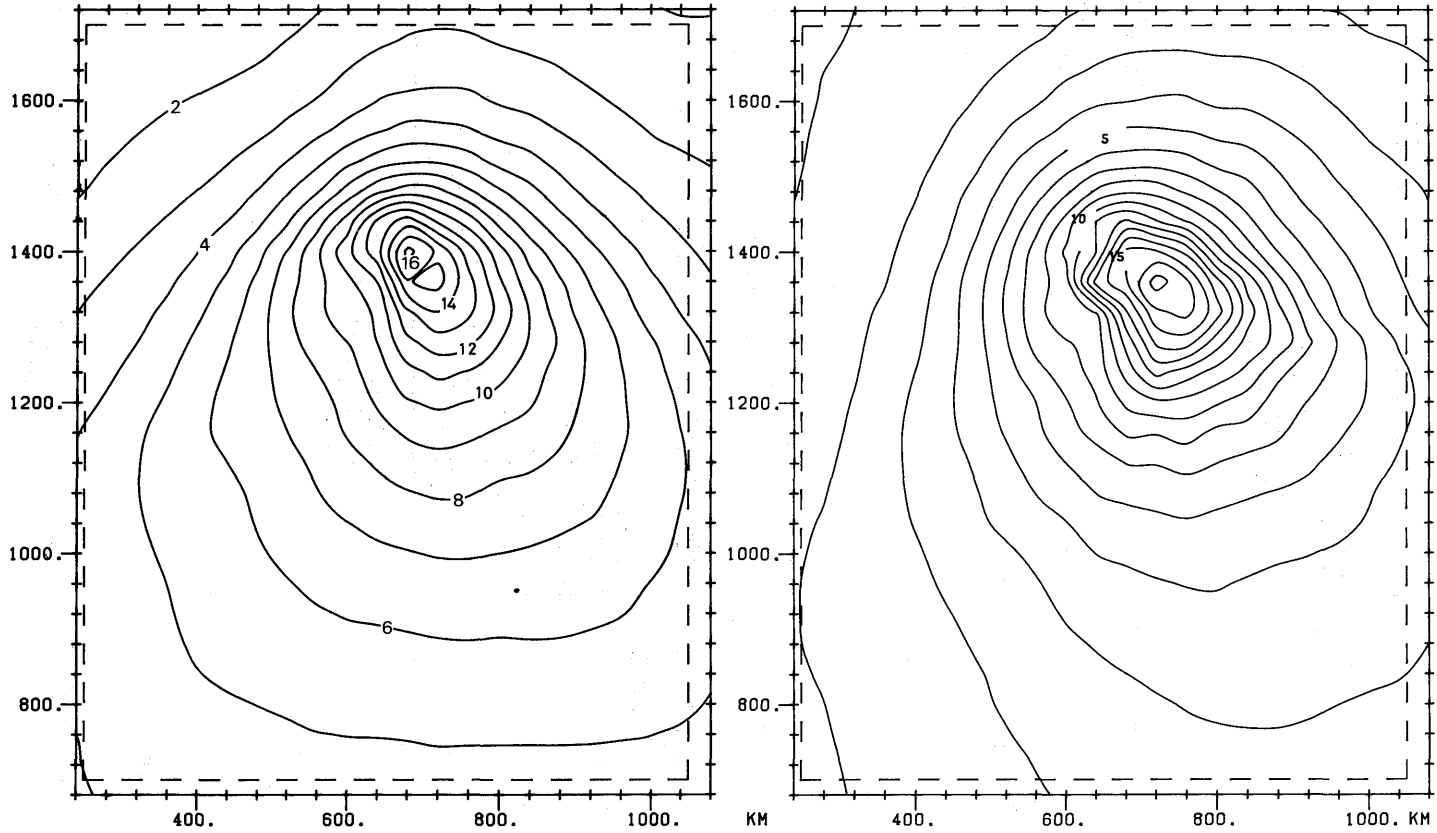


Fig. 134-0-48 contours of H_s vs. X and Y

#13

DX: 40 KM
IMAX=33 : JMAX=44
X EXTENT: 0-1280 KM
Y EXTENT: 0-1720 KM
DT : 1 HOUR

CASE 6-2 \bar{f}

INTERVAL 0.01 HZ

CARDONE MODEL STORM
SPEED 54 KM/H

AT 24. HOURS

MRI-II

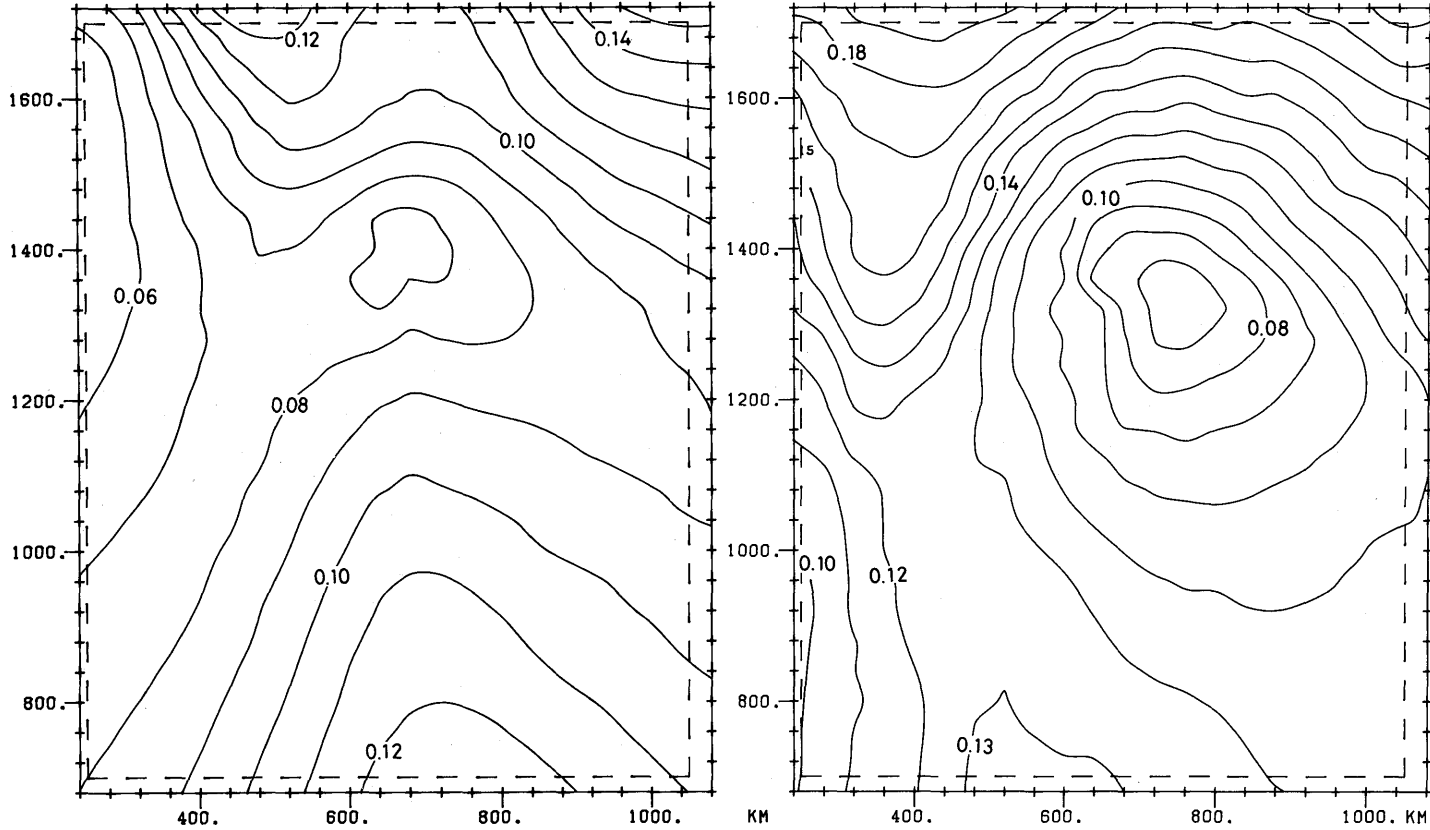


Fig. 135-0-49 contours of \bar{f} vs. X and Y

#14

DX:40 KM
IMAX=33 : JMAX=44
X EXTENT:0-1280 KM
Y EXTENT:0-1720 KM
DT : 1 HOUR

CASE 6-2 CUSTER DIA.

H_s AND MEAN DIRECTION
AT 24. HOURS

MRI-II

CARDONE MODEL STORM
SPEED 54 KM/H

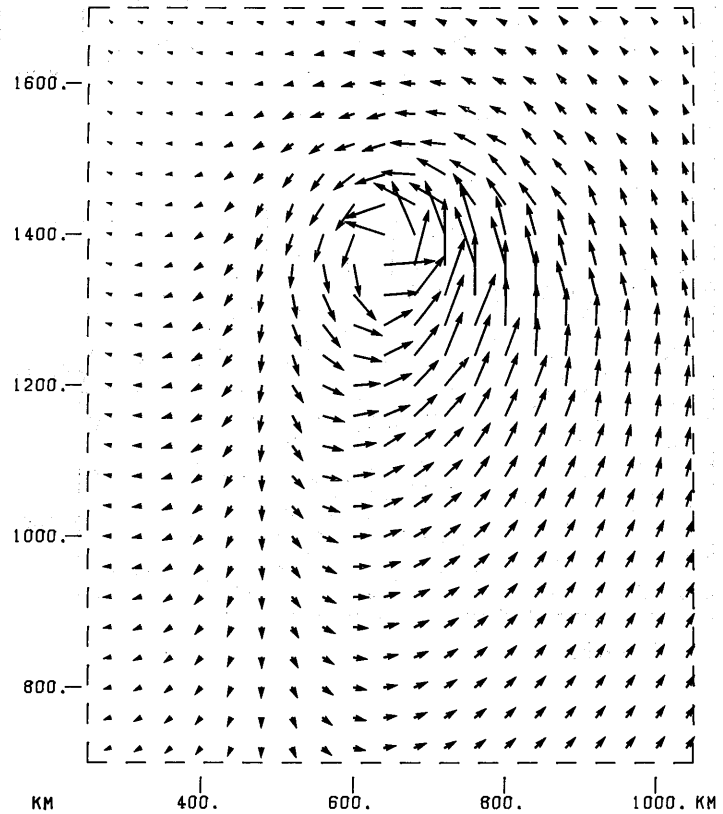
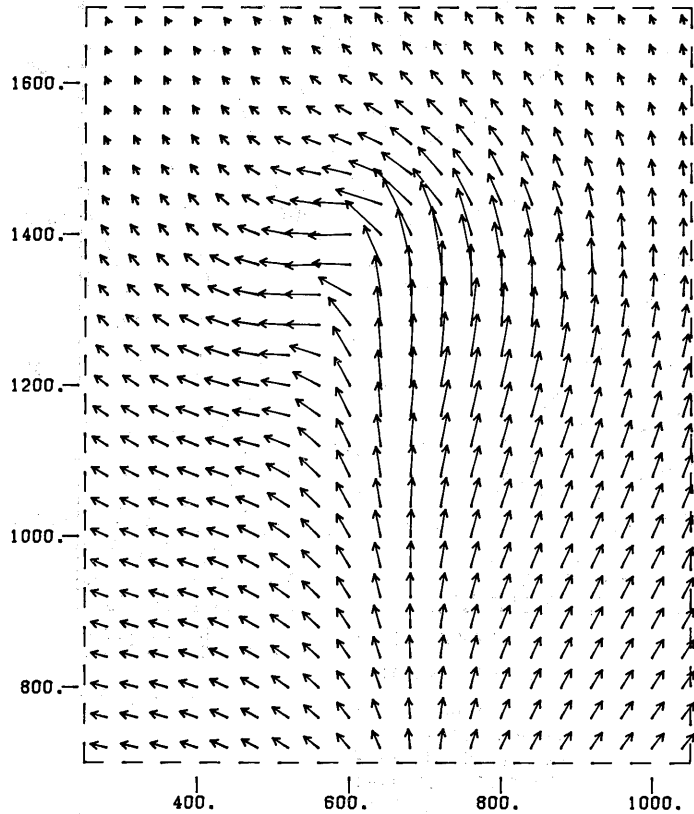


Fig. 136-0-50 custer diagram of H_s and $\bar{\theta}$ vs. X and Y

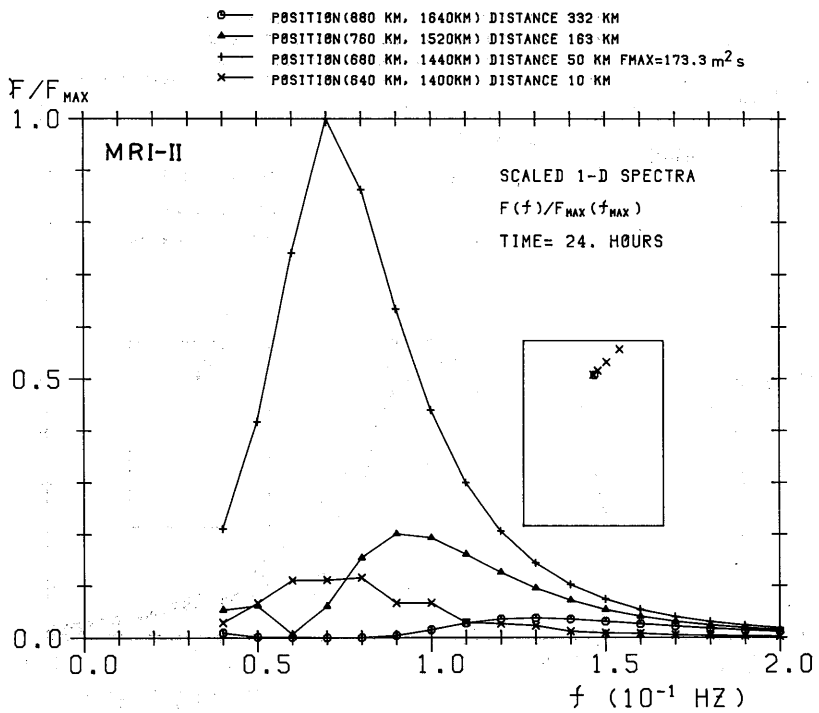
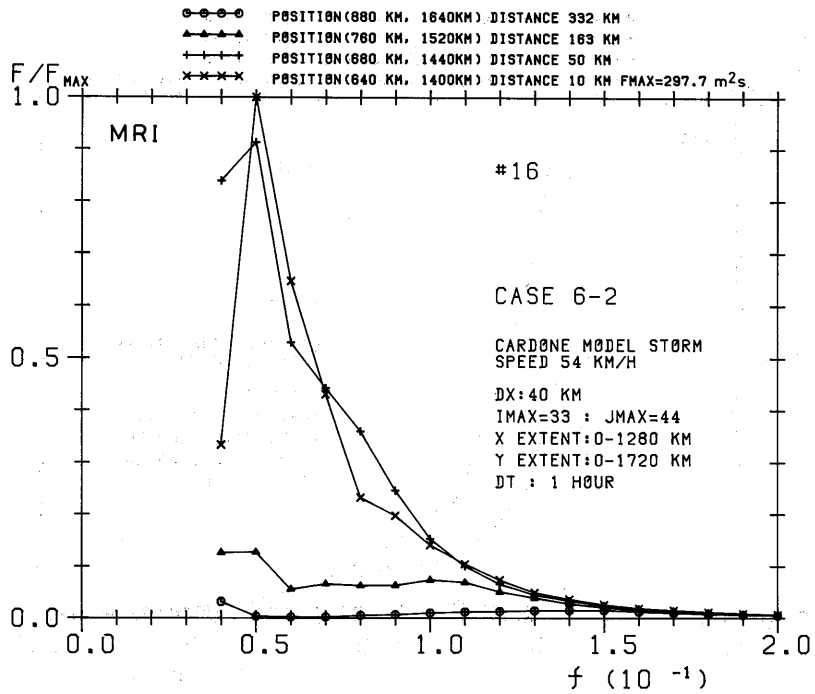


Fig. 137-0-54 scaled 1-D spectrum $F(f)/F(f)_{MAX}$ for points (640,1400), (680, 1440), (760,1520) and (880,1640) (eye and NE direction)

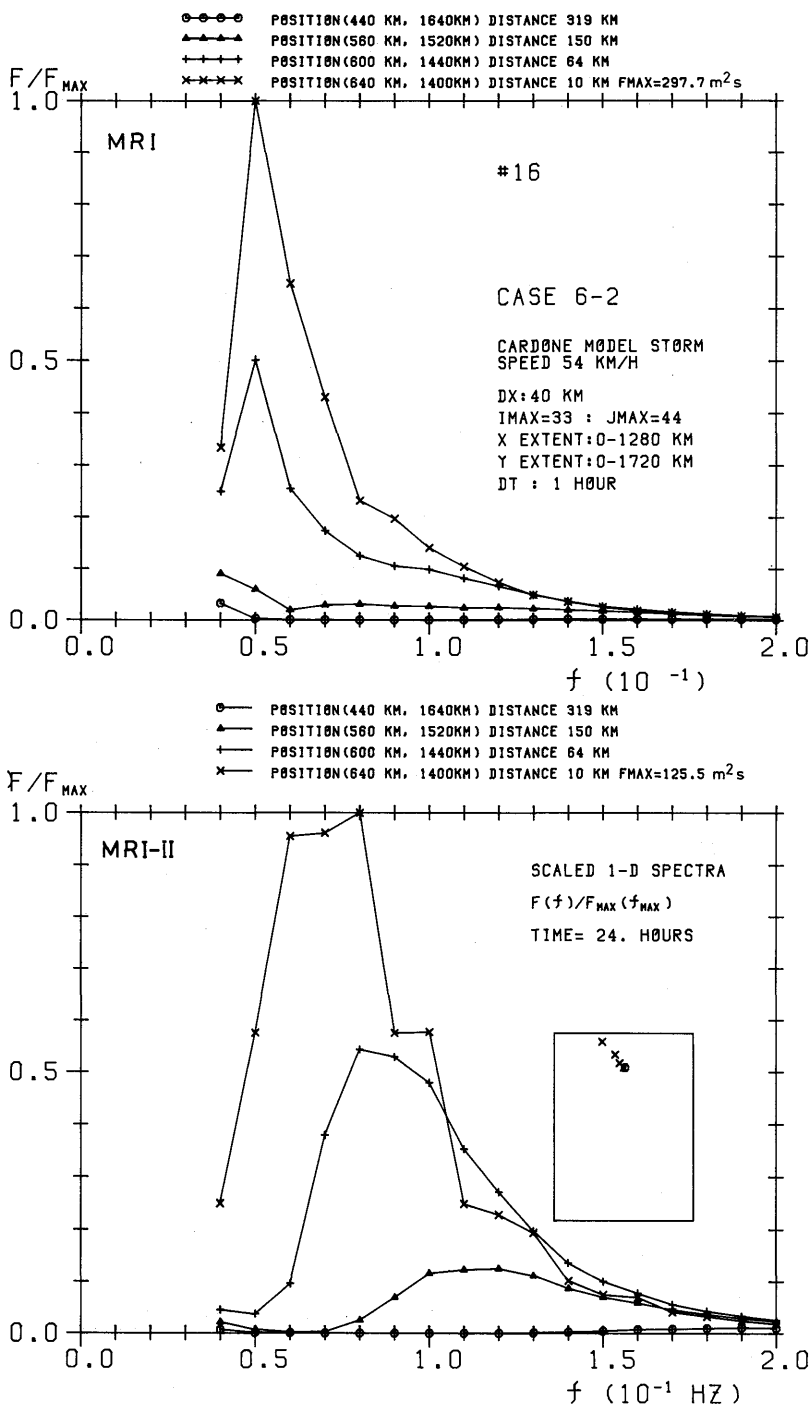


Fig.138-0-0 scaled 1-D spectrum $F(f)/F(f)_{MAX}$ for points (640,1400),(600,1440),(560,1520)and(440,1640) (eye and NW direction)

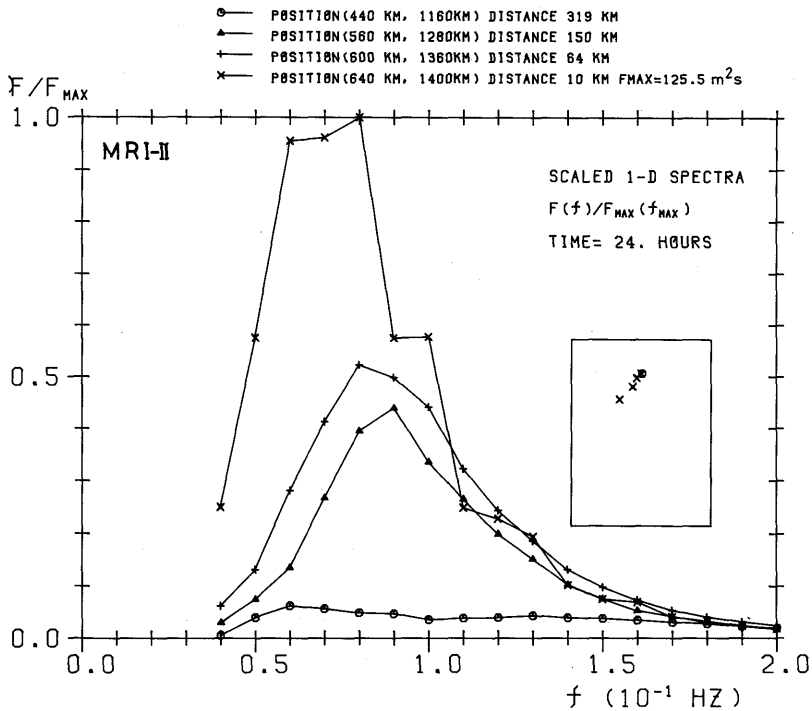
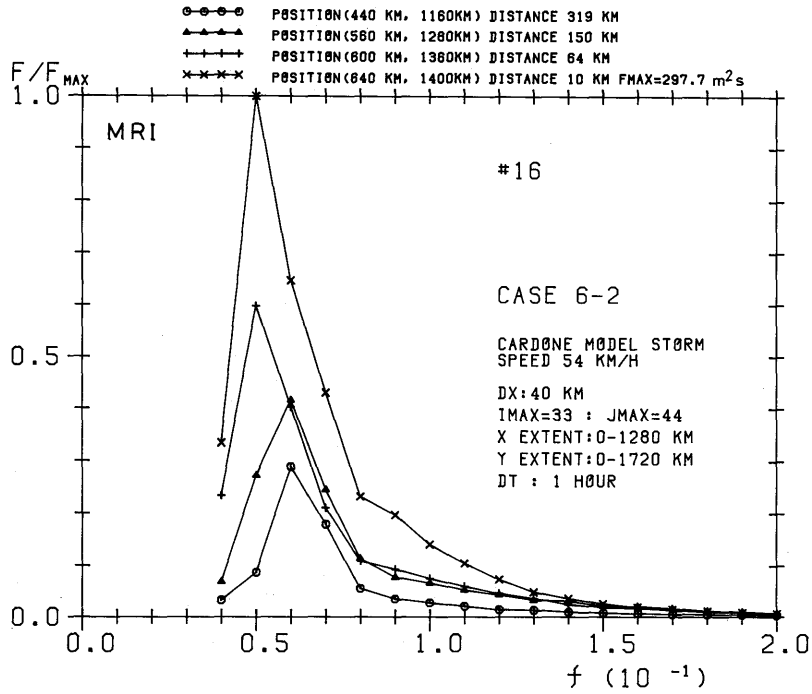


Fig. 139-0-0 scaled 1-D spectrum $F(f)/F(f)_{MAX}$ for points (640,1400),(600,1360),(560,1280) and (440,1160) (eye and SW direction)

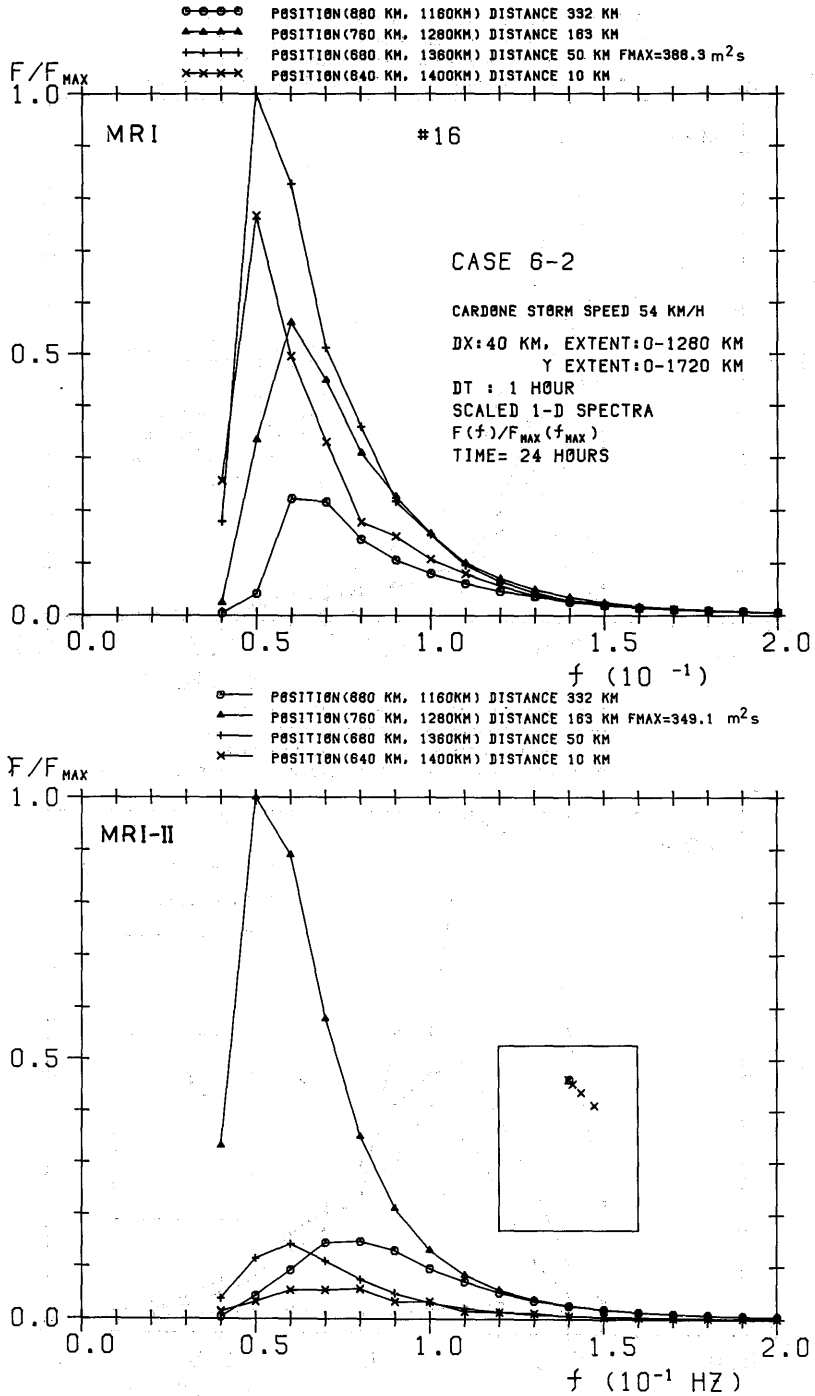


Fig. 140-0-0 scaled 1-D spectrum $F(f)/F(f)_{MAX}$ for points (640,1400), (680, 1360), (760,1280) and (880,1160) (eye and SE direction)

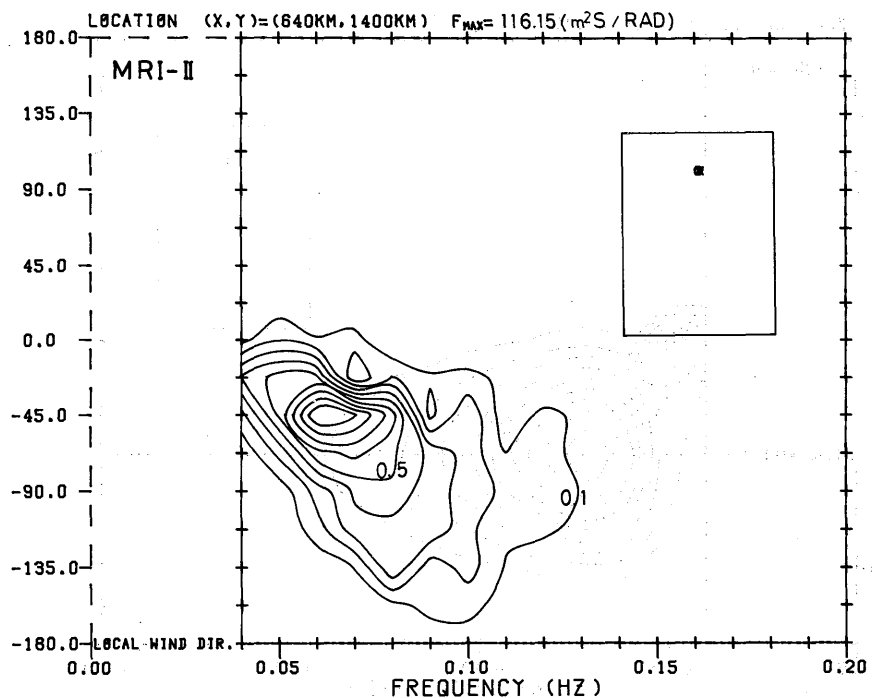
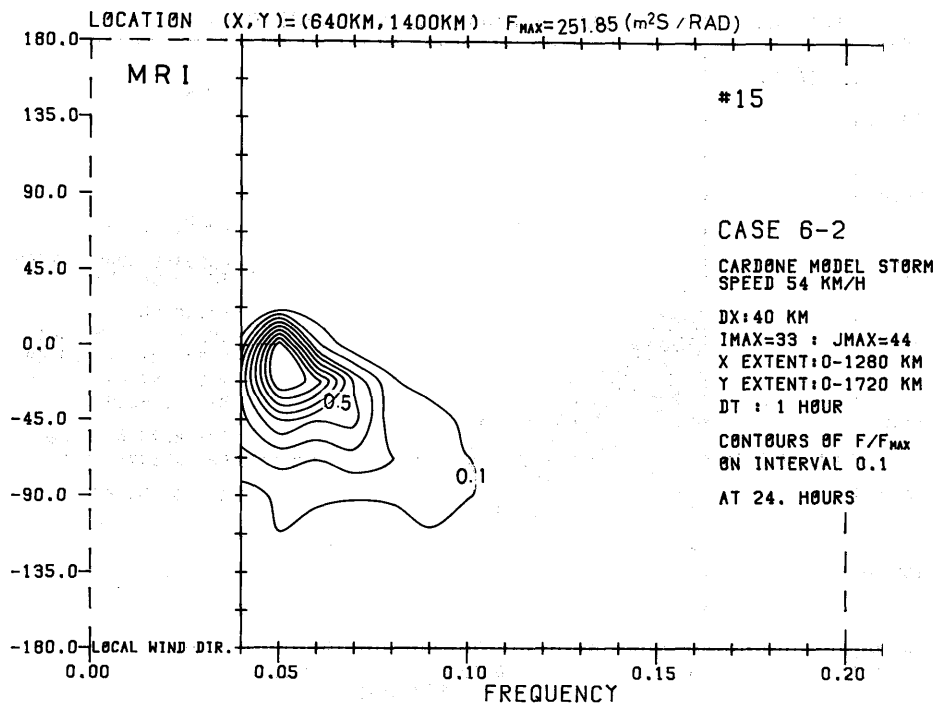


Fig. 141-0-51 scaled 2-D spectrum $F(f, \theta) / F(f, \theta)_{MAX}$ for point (640, 1400) (eye)

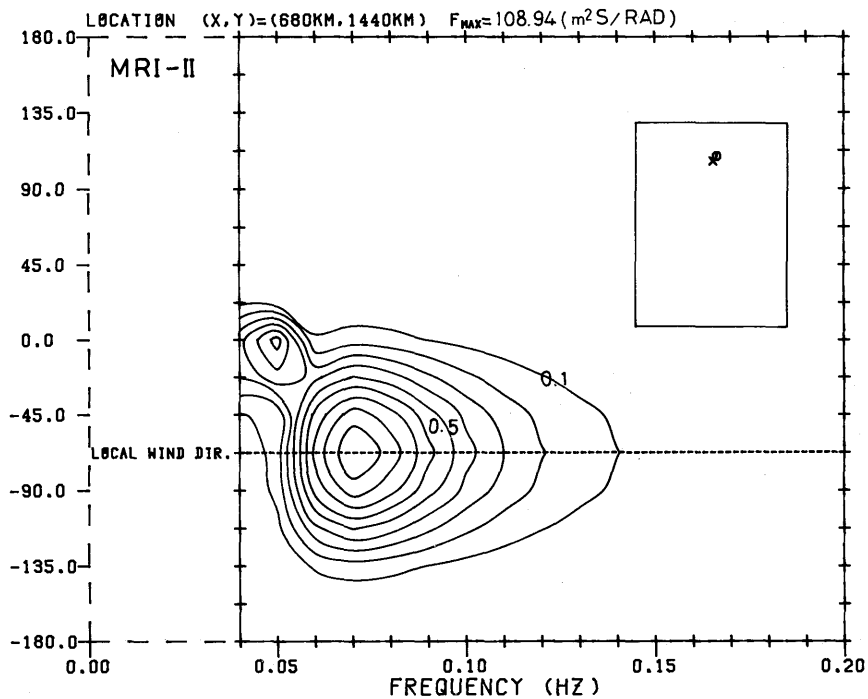
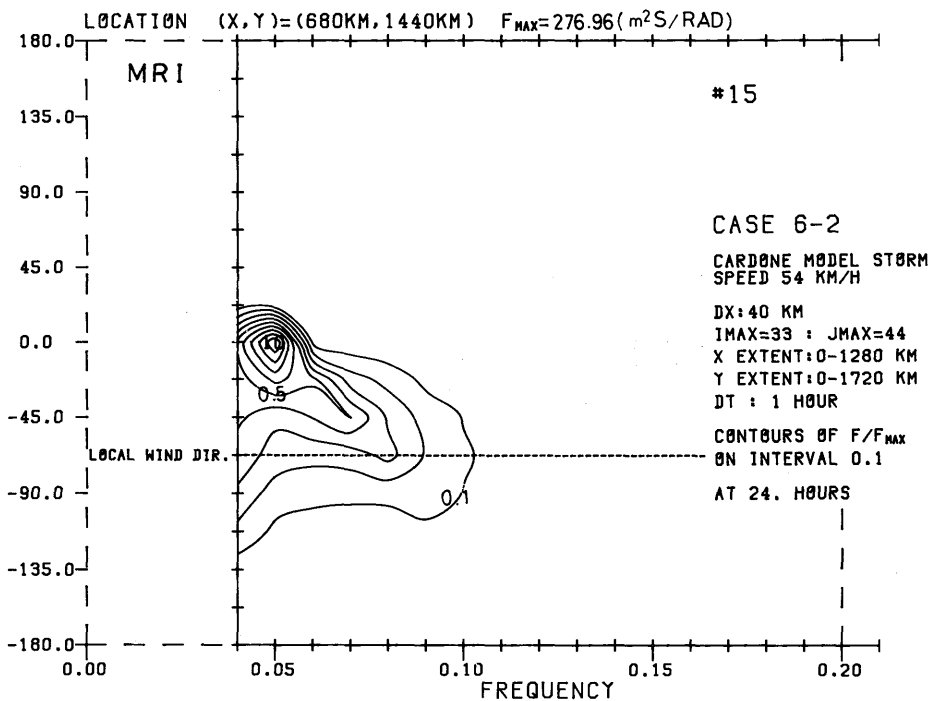


Fig. 142-0-53 scaled 2-D spectrum $F(f,\theta)/F(f,\theta)_{MAX}$ for point (680,1440) (NE1)

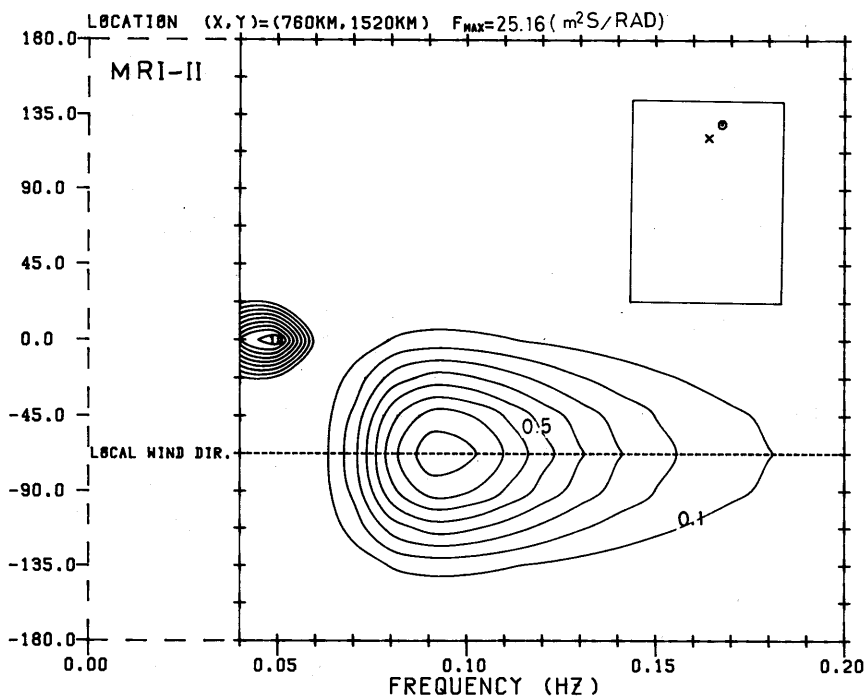
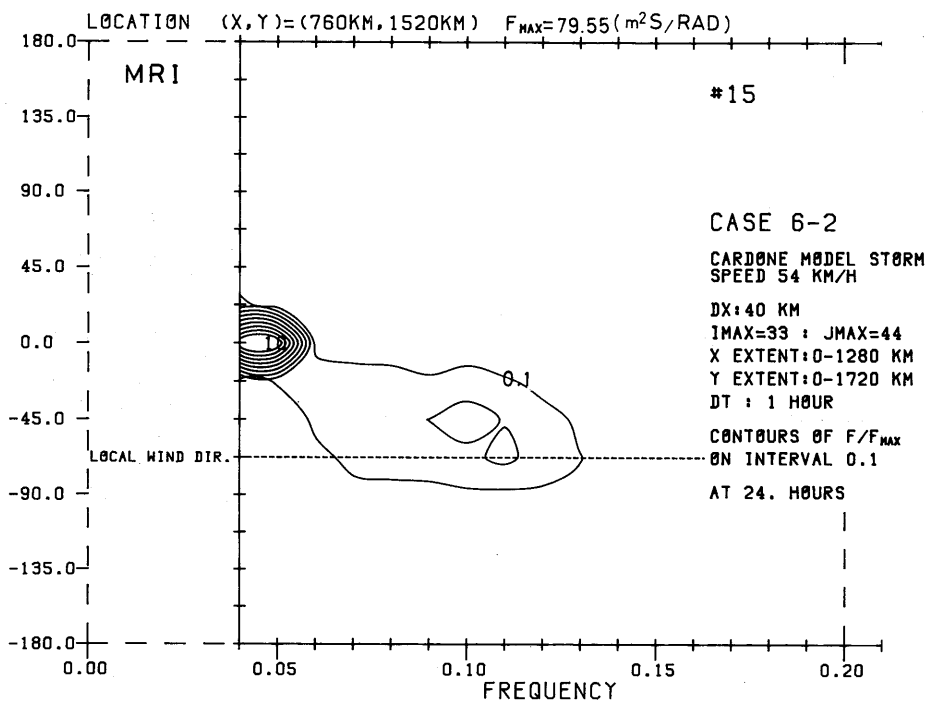


Fig. 143-0-0 scaled 2-D spectrum $F(f, \theta) / F(f, \theta)_{MAX}$ for point (760, 1520) (NE2)

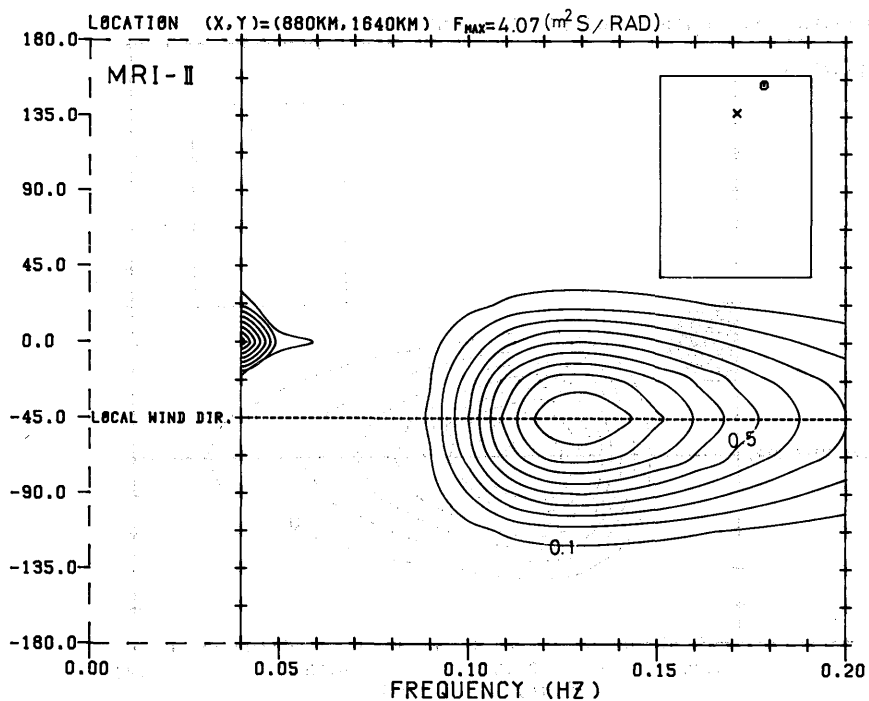
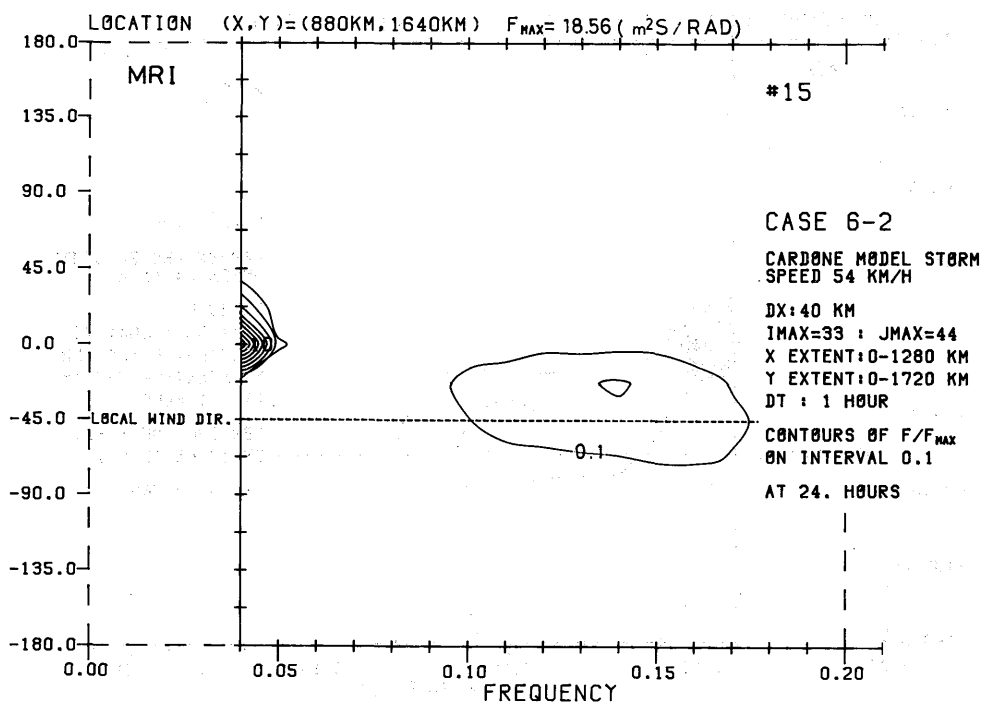


Fig.144-0-0 scaled 2-D spectrum $F(f,\theta)/F(f,\theta)_{MAX}$ for point (880,1640) (NE3)

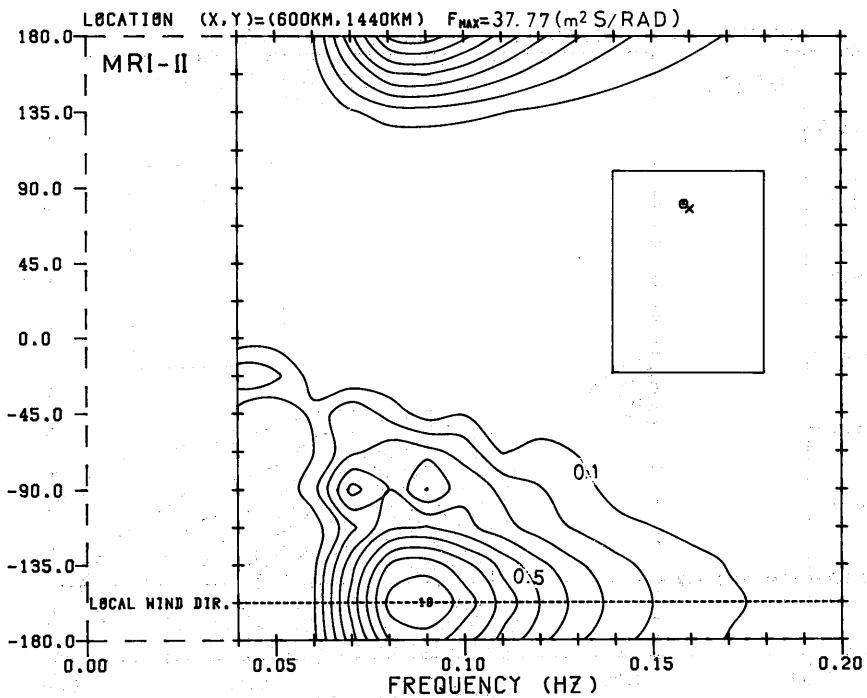
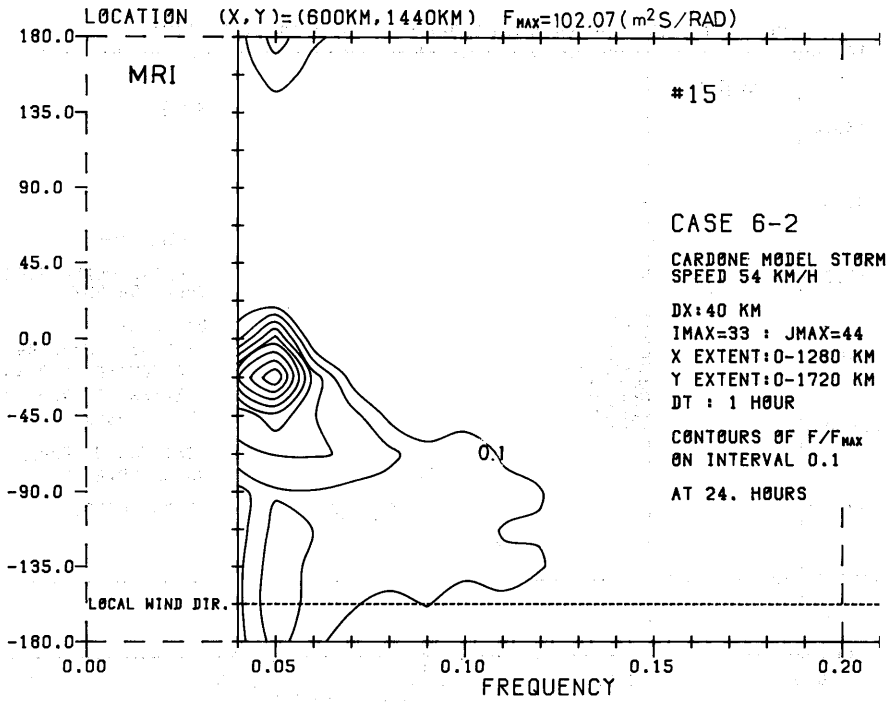


Fig. 145-0-0 scaled 2-D spectrum $F(f, \theta) / F(f, \theta)_{MAX}$ for point (600, 1440) (NW1)

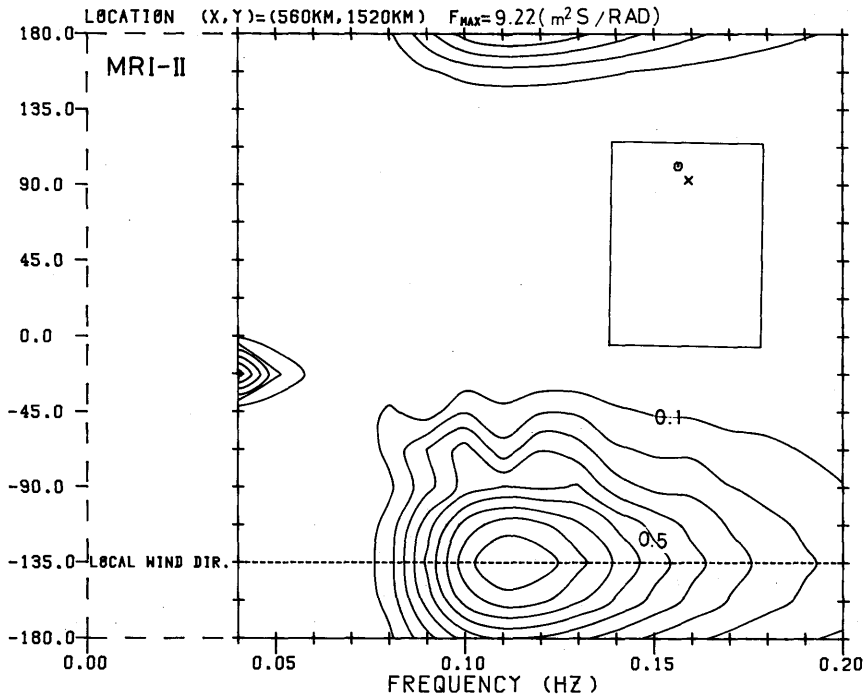
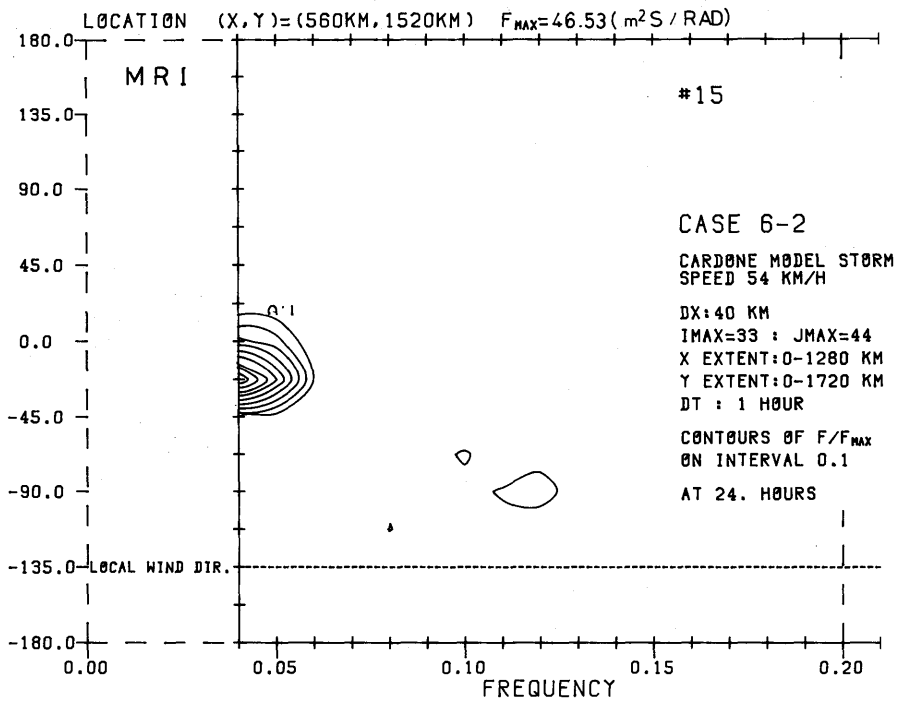


Fig.146-0-0 scaled 2-D spectrum $F(f,\theta)/F(f,\theta)_{MAX}$ for point (560,1520) (NW2)

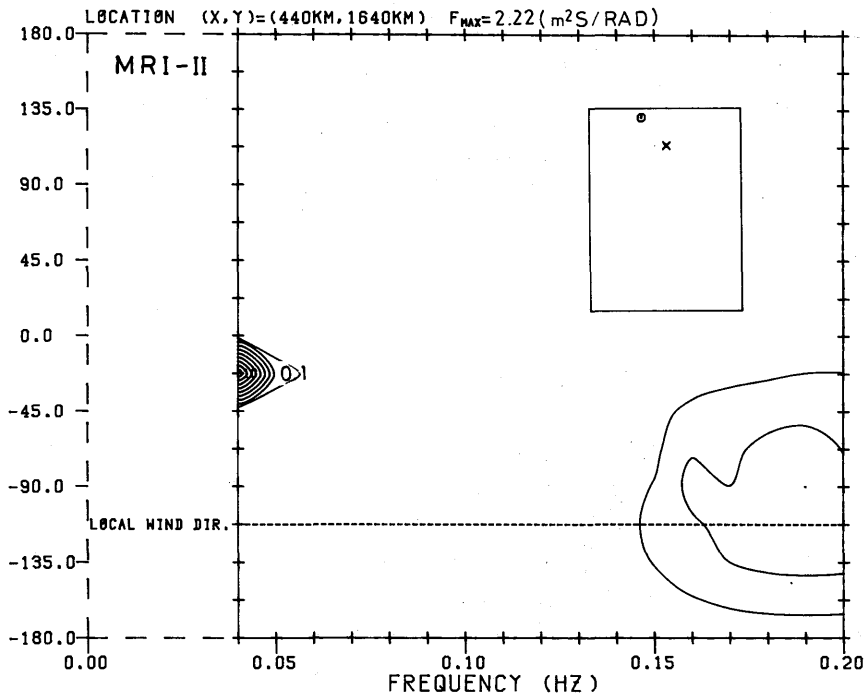
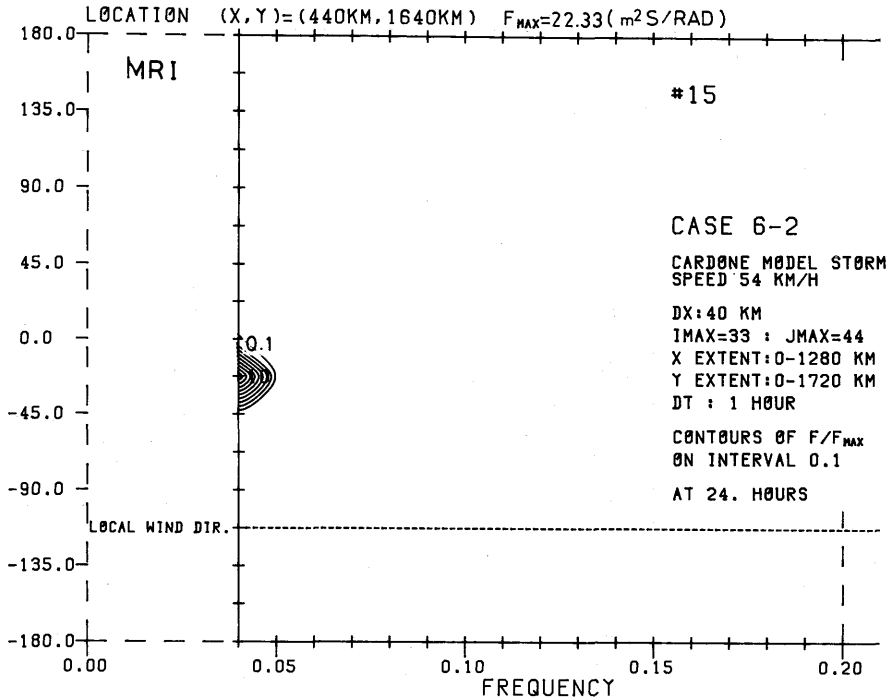


Fig. 147-0-0 scaled 2-D spectrum $F(f,\theta)/F(f,\theta)_{MAX}$ for point (440,1640) (NW3)

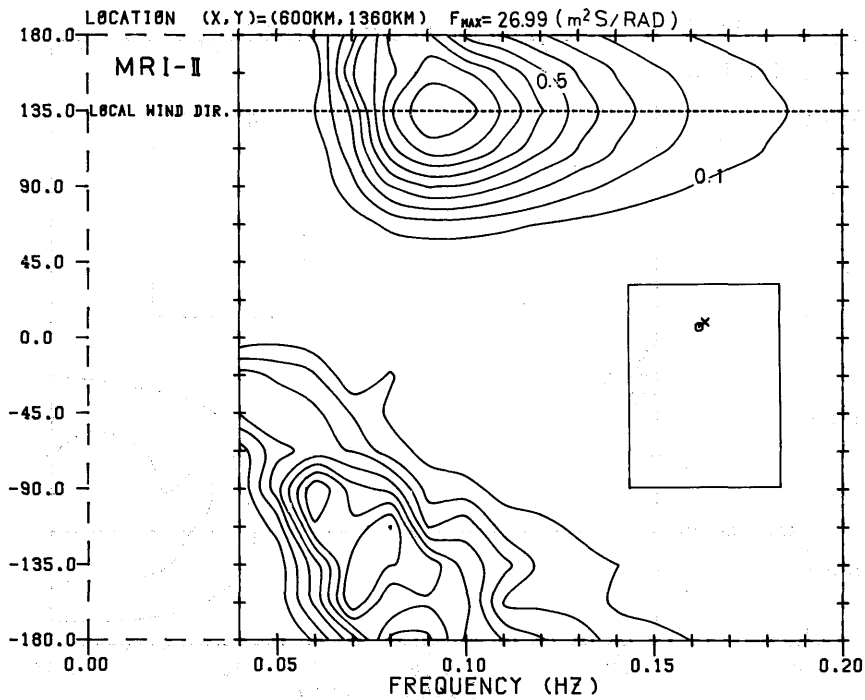
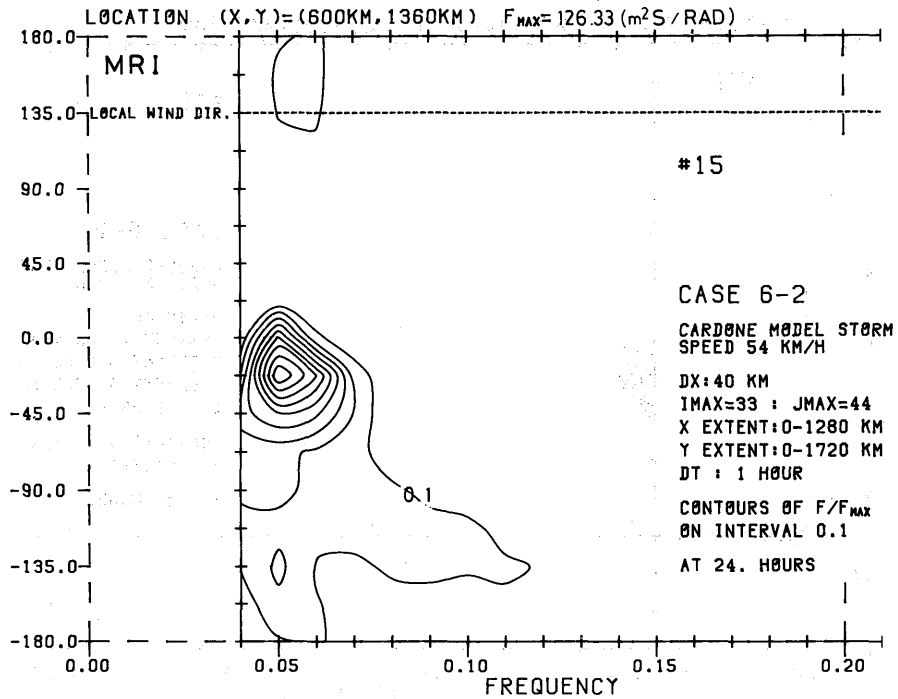


Fig. 148-0-0 scaled 2-D spectrum $F(f,\theta)/F(f,\theta)_{MAX}$ for point (600,1360) (SW1)

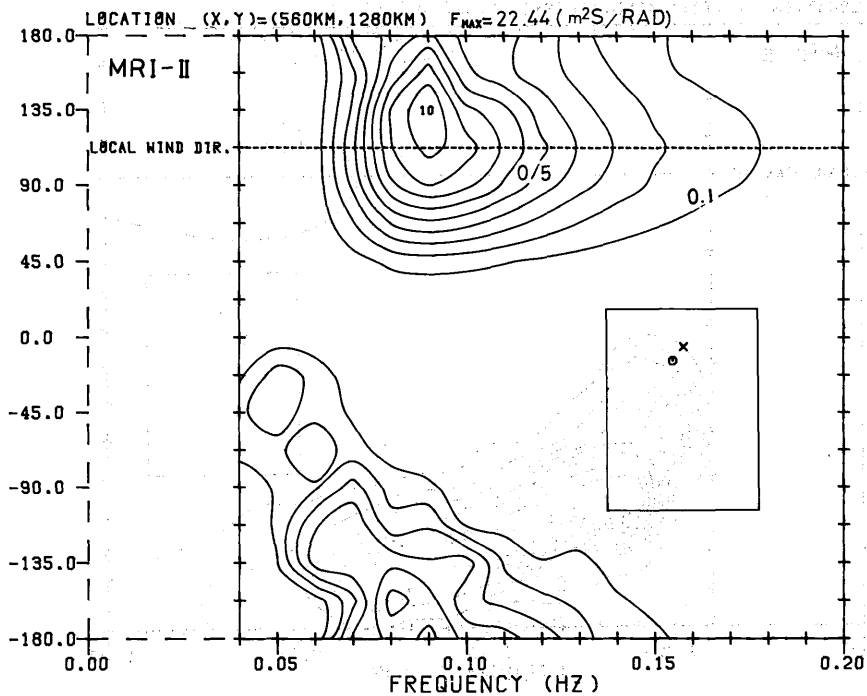
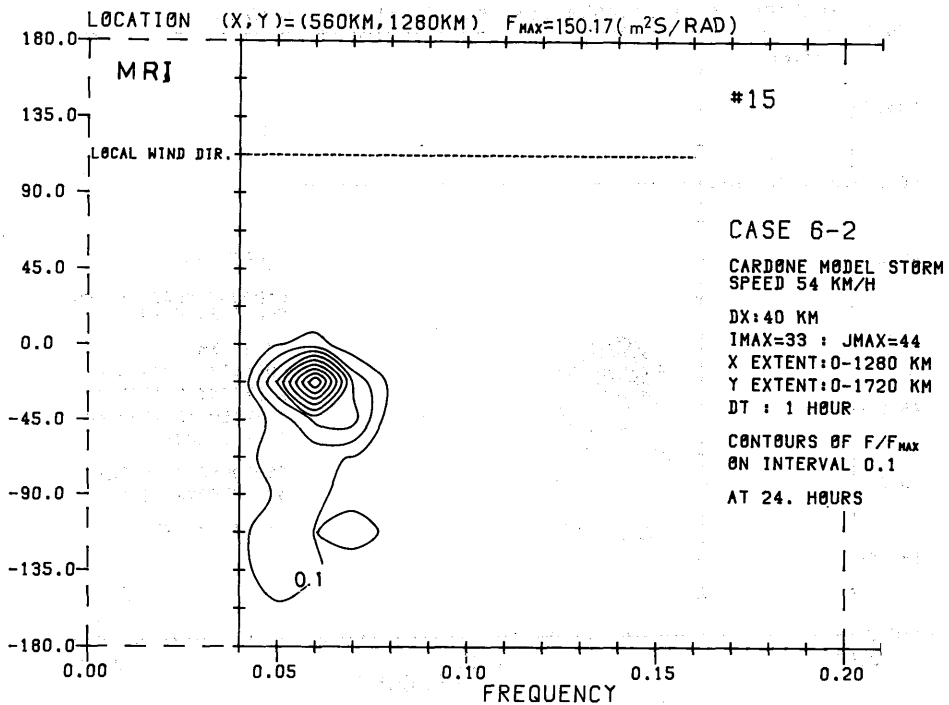


Fig. 149-0-52 scaled 2-D spectrum $F(f, \theta)/F(f, \theta)_{MAX}$ for point (560,1280) (SW2)

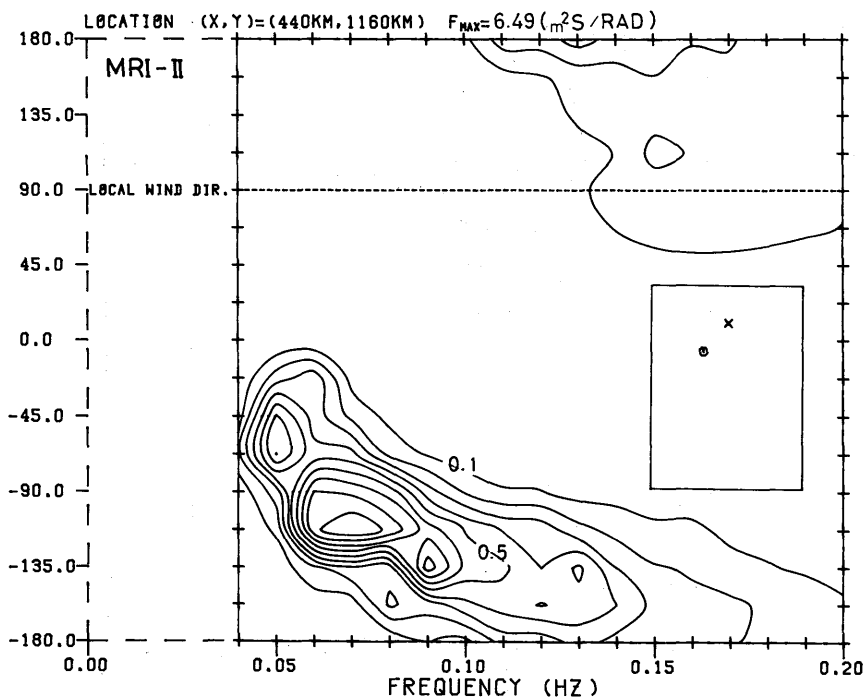
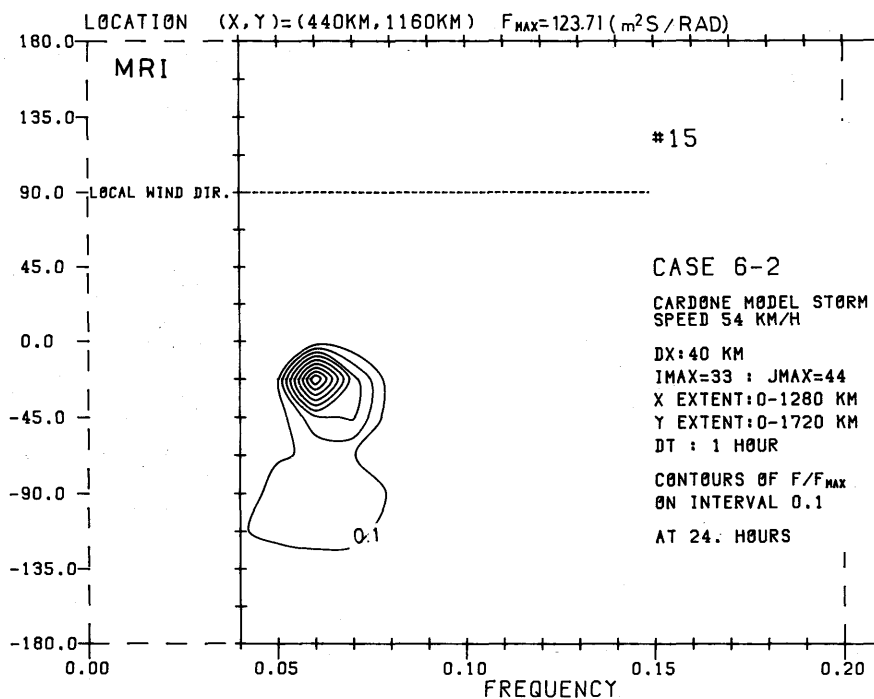


Fig. 150-0-0 scaled 2-D spectrum $F(f,\theta)/F(f,\theta)_{MAX}$ for point (440,1160) (SW3)

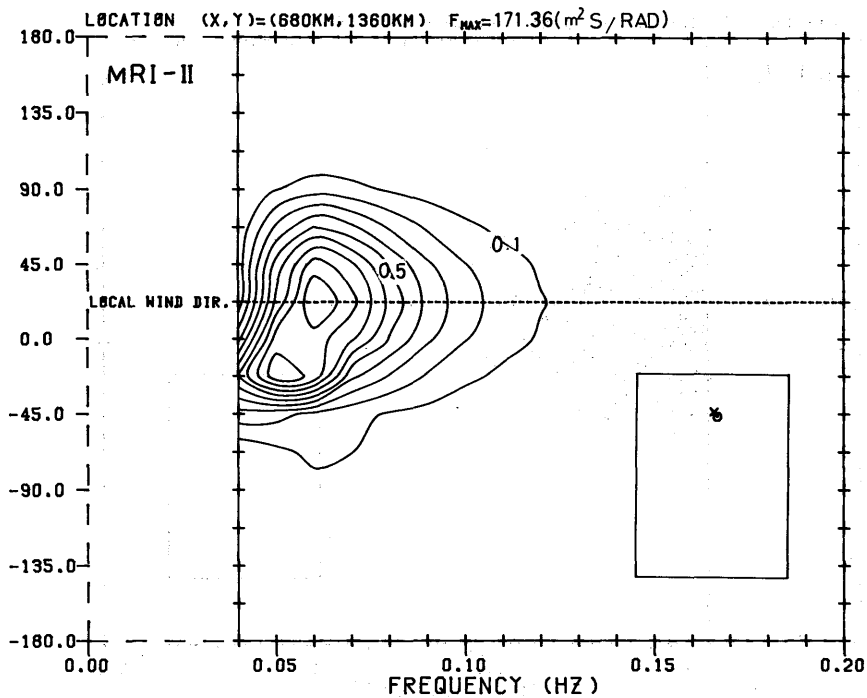
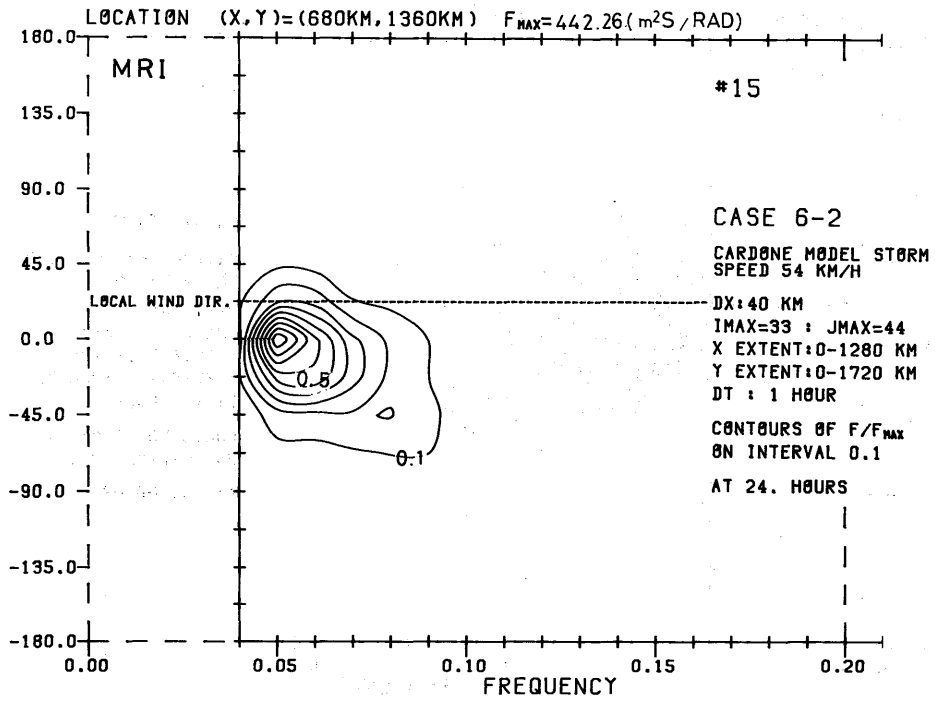


Fig. 151-0-0 scaled 2-D spectrum $F(f, \theta) / F(f, \theta)_{MAX}$ for point (680, 1360) (SE1)

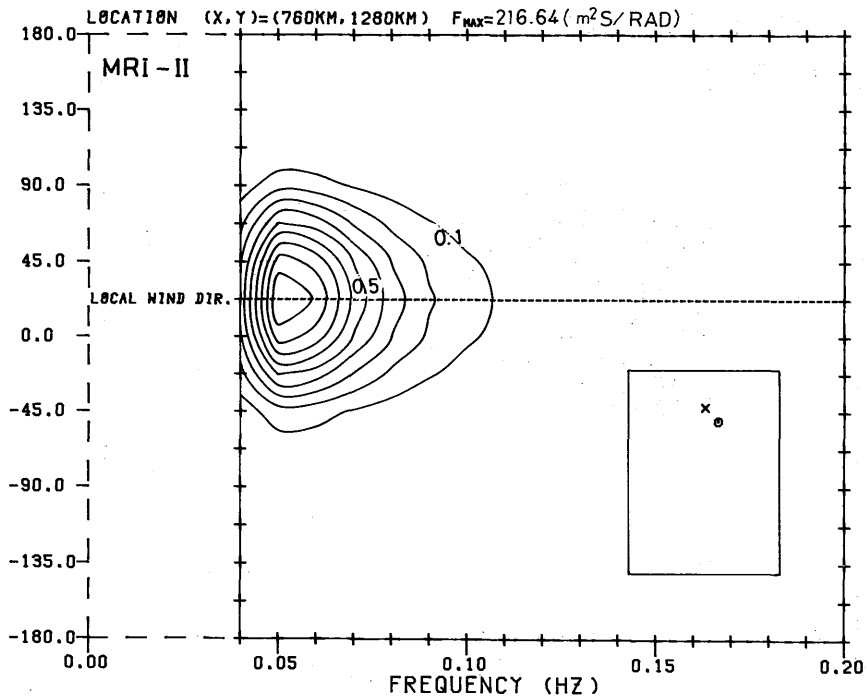
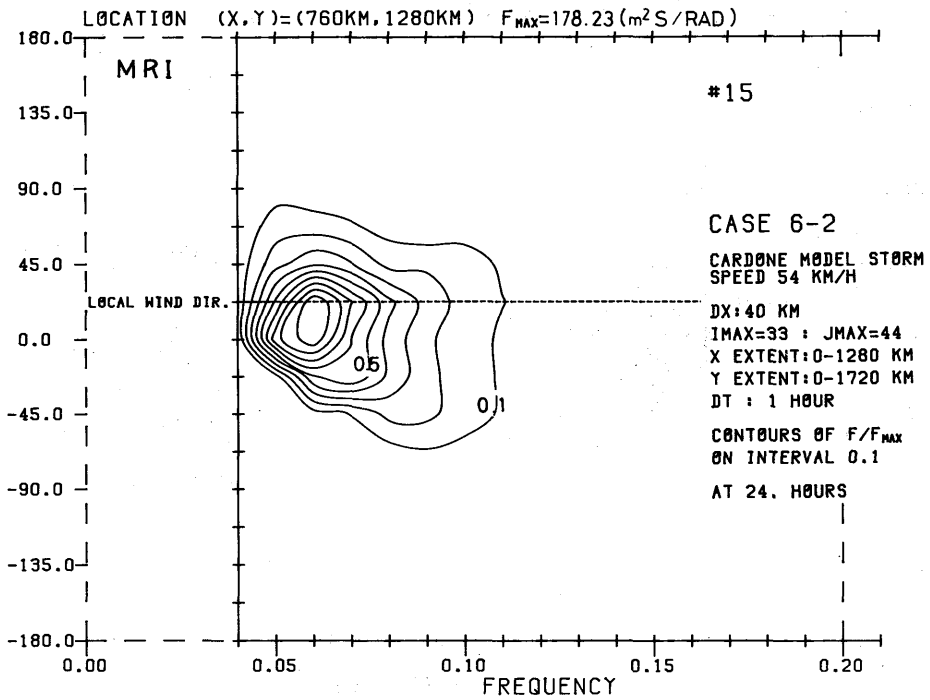


Fig. 152-0-0 scaled 2-D spectrum $F(f, \theta) / F(f, \theta)_{MAX}$ for point (760, 1280) (SE2)

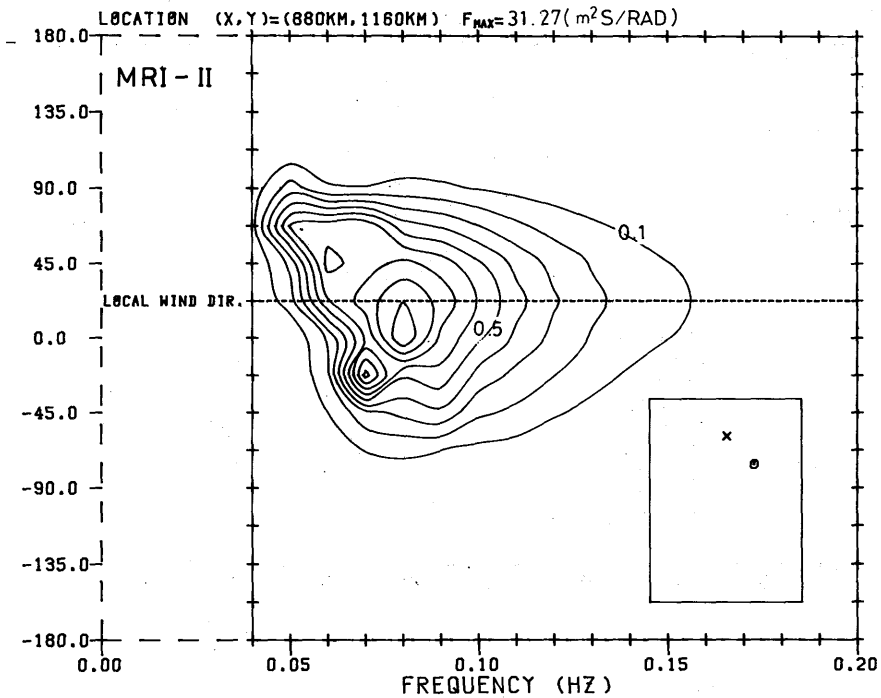
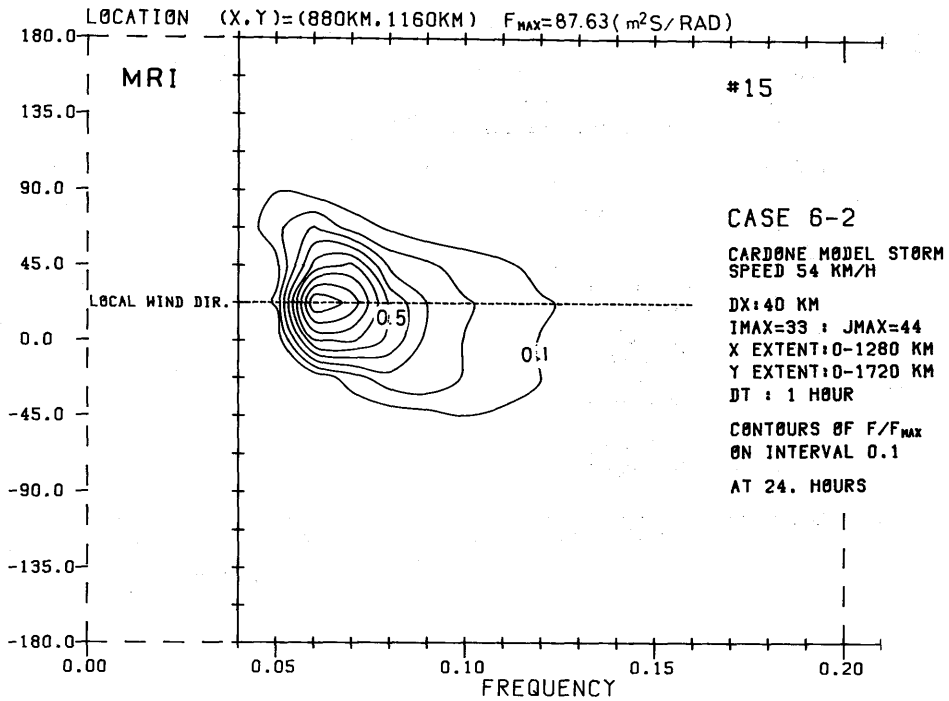


Fig. 153-0-0 scaled 2-D spectrum $F(f,\theta)/F(f,\theta)_{MAX}$ for point (880,1160) (SE3)

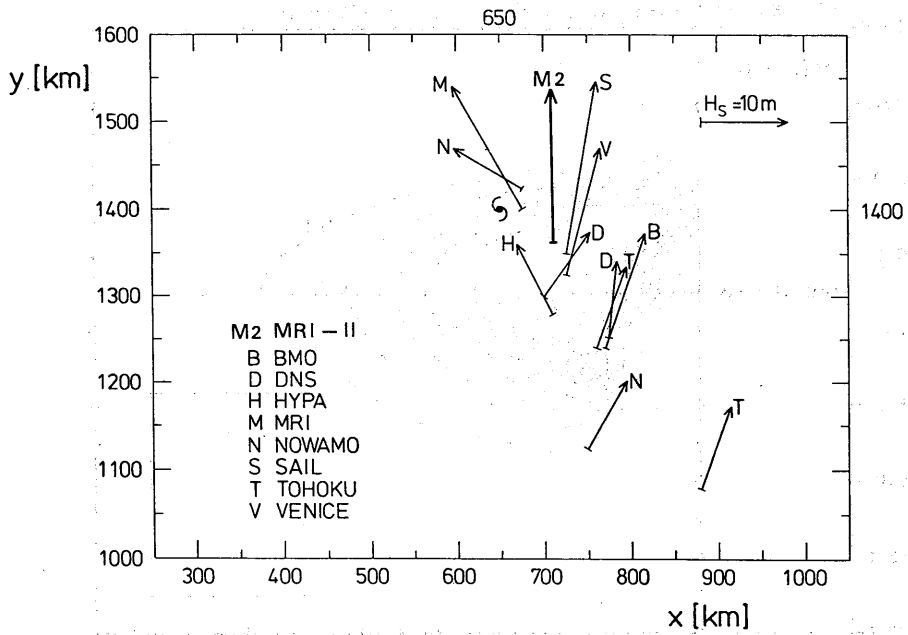
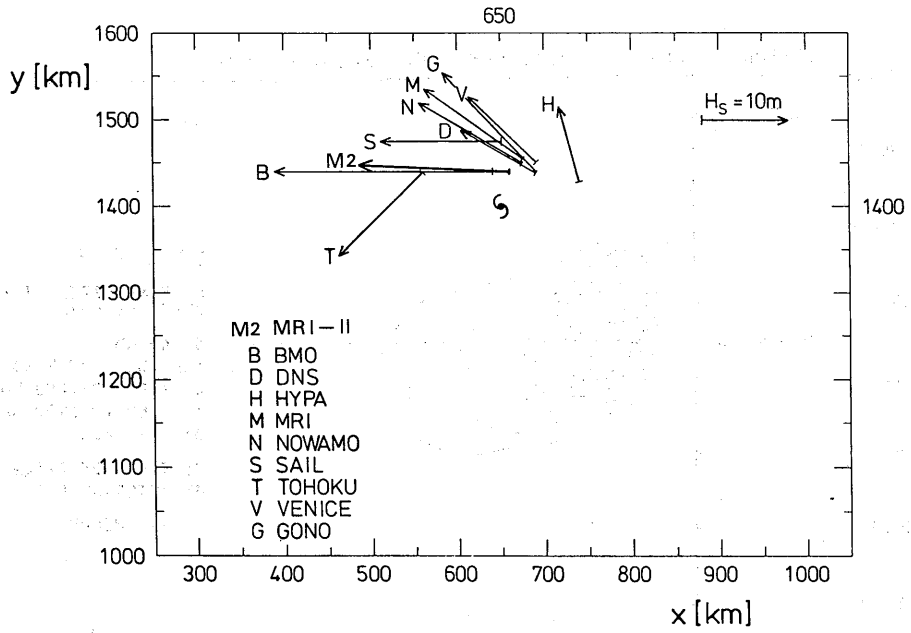


Fig. 154-12.4-0 Positions of $(H_s)_{\text{MAX}}$ for different models. Arrows point in $\bar{\theta}$ and are proportional to $(H_s)_{\text{MAX}}$ in length

気 象 研 究 所

1946 (昭和21年) 設立

所 長 : 理 博 竹 内 清 秀

予報研究部	部 長 :	吉 田 泰 治
台風研究部	部 長 :	理 博 相 原 正 彦
物理気象研究部	部 長 :	理 博 岡 林 俊 雄
応用気象研究部	部 長 :	真 島 恒 裕
気象衛星研究部	部 長 :	工 博 内 藤 恵 吉
地震火山研究部	部 長 :	理 博 市 川 政 治
海洋研究部	部 長 :	理 博 飯 田 隼 人
高層物理研究部	部 長 :	理 博 嘉 納 宗 靖
地球化学研究部	部 長 :	秋 山 勉

気象研究所技術報告

編集委員長: 真 島 恒 裕

編集委員 : 山 崎 孝 治 近 藤 洋 輝 伊 藤 朋 之
吉 川 友 章 青 柳 二 郎 岡 田 正 實
遠 藤 昌 宏 小 寺 邦 彦 伏 見 克 彦

事務局 : 西 田 圭 子 湯 原 有 哉

気象研究所技術報告は、気象学、海洋学、地震学、その他関連の地球科学の分野において、
気象研究所職員が得た研究成果に関し、技術報告、資料報告及び総合報告を掲載する。

気象研究所技術報告は、1978年(昭和53年)以降、必要の都度刊行される。

昭和60年3月30日発行 I S S N 0386-4049

編集兼発行所 気 象 研 究 所

茨城県筑波郡谷田部町長峰1-1

印 刷 所 東 京 都 港 区 西 新 橋 2-5-10

日青工業株式会社